

РУКОВОДСТВО
ПО ПРОЕКТИРОВАНИЮ ОСНОВАНИЙ ПОД РЕЛЬСОВЫЕ
ПУТИ КРАНОВ И ПЕРЕГРУЗАТЕЛЕЙ ИЗ СБОРНЫХ
БАЛОК, УЛОЖЕННЫХ НА ГРУНТ

РД 31.31.49 - 88

Москва 1988 г.

Разработано Союzmорниiproектом

Директор института - Ф.Г. Аракелов

Начальник отдела

стандартизации - М.И. Калашников

Ст. н. с. - руководитель
и исполнитель разработки - А.Н. Котц

Главный специалист
нормоконтроль - В.И. Ярошенко

Согласовано Главный инженер Главморречстроя

Минтранстрая - Д.Ф. Черевач

РУКОВОДСТВО ПО ПРОЕКТИРОВАНИЮ
ОСНОВАНИЙ ПОД РЕЛЬСОВЫЕ ПУТИ
КРАНОВ И ПЕРЕГРУЖАТЕЛЕЙ ИЗ СБОР-
НЫХ БАЛОК, УЛОЖЕННЫХ НА ГРУНТ

РД 31.31.49 - 88

Вводится впервые

Срок введения в действие
установлен с 01.01.89

Настоящее Руководство распространяется на проектирование конструкций сборных железобетонных балок, уложенных непосредственно на песчаный грунт и являющихся основанием рельсовых путей портовых порталных кранов и перегружателей.

Руководство рекомендуется для проектирования реконструкции существующих путей и опытного строительства новых.

I. Характеристики грунтового основания

При проектировании следует использовать нормативные характеристики вновь образованного при строительстве основания из песчаного грунта, приведенные в таблице приложения I.

При строительстве крановых путей из сборных железобетонных балок, уложенных на грунтовое основание, полученное в результате засыпки пазухи причальных сооружений или образования территории порта, на момент устройства пути основание должно иметь относительную плотность сложения $D > 0,6$.

При $D < 0,6$ в зависимости от результатов технико-экономических расчетов необходимо провести уплотнение грунта или устраивать рельсовый путь по железобетонным балкам на свайном основании.

I.2. В случае реконструкции рельсовых путей характеристики грунтового основания и механические свойства его необходимо определить по результатам изысканий на объекте реконструкции.

При отсутствии данных изысканий, характеристики основания из песчаного грунта рекомендуется определять по формулам:

$$\Psi_t = \Psi_0 + n \cdot t, \text{град.} \quad (1)$$

$$C_t = C_0 + K \cdot t, \frac{\kappa H}{m^2} \quad (2)$$

где t - количество лет прошедших после образования грунтового основания,

$\varphi_u \text{ и } c_u$ - угол внутреннего трения и удельное сцепление после образования грунтового основания, (по данным таблицы приложения I)

$n \text{ и } K$ - коэффициенты, значения которых принимают для песчаных грунтов средней крупности $n=0,06$ и $K=0,004$ и мелкой $n=0,04$ и $K=0,005$

I.3. Механические характеристики грунтового основания следует определять по результатам штамповых испытаний, а до образования грунтового основания механические характеристики определяют по зависимости осадки штампа от приложенной нагрузки к нему по формуле:

$$y = \frac{[y]}{[R]} \frac{(1.5 - D) \cdot R}{(2.5 - D) - \bar{R}} \quad (3)$$

где y - абсолютная осадка штампа, м,

$[y]$ - предельная осадка штампа в момент достижения предельной несущей способности основания, м,

R - давление, передаваемое на основание, Па,

$[R]$ - предельная несущая способность основания, Па,

\bar{R} - относительное давление, равное $\frac{R}{[R]}$,

D - относительная плотность сложения грунтового основания,

определяемая $D = \frac{\epsilon_p - \epsilon_e}{\epsilon_p - \epsilon_n}$

для вновь образованного основания принимают $D = 0,5$

I.3.1. Осадку штампа в момент достижения предельной несущей способности грунтового основания определяют по формуле:

$$[y] = B(0,22 - 0,18D), \quad (4)$$

где: B - ширина штампа, м.

1.3.2. Прéдельную несущую способность грунтового основания определяют в соответствии со СНиП 2.02.01-83 по формуле:

$$[R] = A \cdot \beta \cdot \gamma + B \cdot q + D \cdot c \quad (5)$$

где A , B и D - коэффициенты, определяемые по формуле:

$$A = \lambda_g \cdot n_g; \lambda_g = 0.9 (\lambda_q - 1) \cdot \operatorname{tg} \varphi;$$

$$B = \lambda_q \cdot n_q; \lambda_q = e^{\pi \cdot \operatorname{tg} \varphi} \cdot \operatorname{tg}^2 \varphi \left(\frac{\pi}{4} + \frac{\varphi}{2} \right);$$

$$D = \lambda_c \cdot n_c; \lambda_c = (\lambda_q - 1) \cdot \operatorname{ctg} \varphi;$$

$$n_g = 1 - \frac{0.25 \beta}{\ell}; n_q = 1 + \frac{1.5 \beta}{\ell}; n_c = 1 + \frac{0.3 \beta}{\ell}$$

β - ширина подошвы балки, м.

ℓ - длина одной балки, м;

γ - удельный вес грунта, на глубину от подошвы балки до двойной ширины балки,

φ - нормативный угол внутреннего трения грунта основания, град

c - нормативное удельное сцепление грунта основания, $\frac{кН}{м^2}$,

q - нагрузка на уровне подошвы балки от грунта и покрытия, $\frac{кН}{м^2}$

1.3.3. В соответствии с зависимостью (3) модуль упругости грунтового основания на уровне подошвы балки определяют по формуле

$$E_o = 0.08 (1 - M_o^2) \cdot [K] \cdot \beta \frac{[(2.5 - D) - \bar{R}_o]^2}{(2.5 - D)(1.5 - D)}, \text{ МПа}, \quad (6)$$

где $[K]$ - коэффициент жесткости основания в момент достижения предельной несущей способности основания, $[K] = \frac{[R]}{[\gamma]}, \frac{кН}{м^3}$;

β - ширина балки, м;

$\bar{R}_o = \frac{R_o}{[R]}$ - относительная величина напряжения, при которой определяется модуль упругости E_o . Принимают R_o равным напряжению, передаваемому на основание от собственной массы конструкции;

M - коэффициент Пуассона.

2. Расчет конструкций

2.1. Конструкции оснований рельсовых путей рассчитывают по первой и второй группам предельных состояний.

По первой группе рассчитывают железобетонные конструкции на наибольшие расчетные усилия, полученные в результате статических расчетов балки, лежащей на грунтовом основании, и возникающие в строительный период.

По второй группе определяют наибольшие уклоны рельсового пути, которые не должны превышать нормативных значений.

К этой группе также относятся расчеты по определению ширины раскрытия трещин в наиболее напряженном сечении железобетонной конструкции.

2.2. Нагрузка на рельсовые пути, уложенные по железобетонным балкам, состоит из постоянной нагрузки от собственного веса конструкции и временной от катков перегрузочных механизмов.

2.3. Временную нагрузку от кранов и перегружателей принимают в соответствии с Нормами технологического проектирования морских портов РД 31.31.37-78.

2.4. При относительной плотности сложения грунтового основания $D < 0,85$ в качестве расчетной модели основания рекомендуется принимать комбинированную модель, в которой учитываются упругие и остаточные деформации грунта (см. таблицы приложения 2).

2.5. При относительной плотности сложения грунтового основания $D \geq 0,85$ допускается использовать расчетные модели основания в виде упругого полупространства с определением E_0 по формуле (6) или по гипотезе коэффициента постели, при значении

$$K_n = \frac{E_0}{\delta}, \frac{m^3}{m^3}.$$

(7)

Грунтовое основание в расчетах принимают однородным.

2.6. При расчетах по упругим моделям необратимым деформации основания допускается определять по формуле:

$$y_{\text{необр.}}^k = y_{\text{упр.}}^k (n_k - 1), m \quad (8)$$

где $y_{\text{необр.}}^k$ - необратимая информация основания в точке "К", м;

$y_{\text{упр.}}^k$ - упругая деформация по расчету в точке "К", м;

n_k - коэффициент, определяемый по формуле:

$$n_k = \frac{2,5 - D - \bar{R}_o}{2,5 - D - \bar{R}_k} \quad (9)$$

\bar{R}_k - относительное давление на основание в точке "К".

2.7. Наибольшие нормативные изгибающие моменты в балках кранового пути находят при двух схемах расположении наибольшей нагрузки от ноги крана, посередине длины балки (схема № 1) и при расположении нагрузок по концам балки (схема 2, Рис. I).

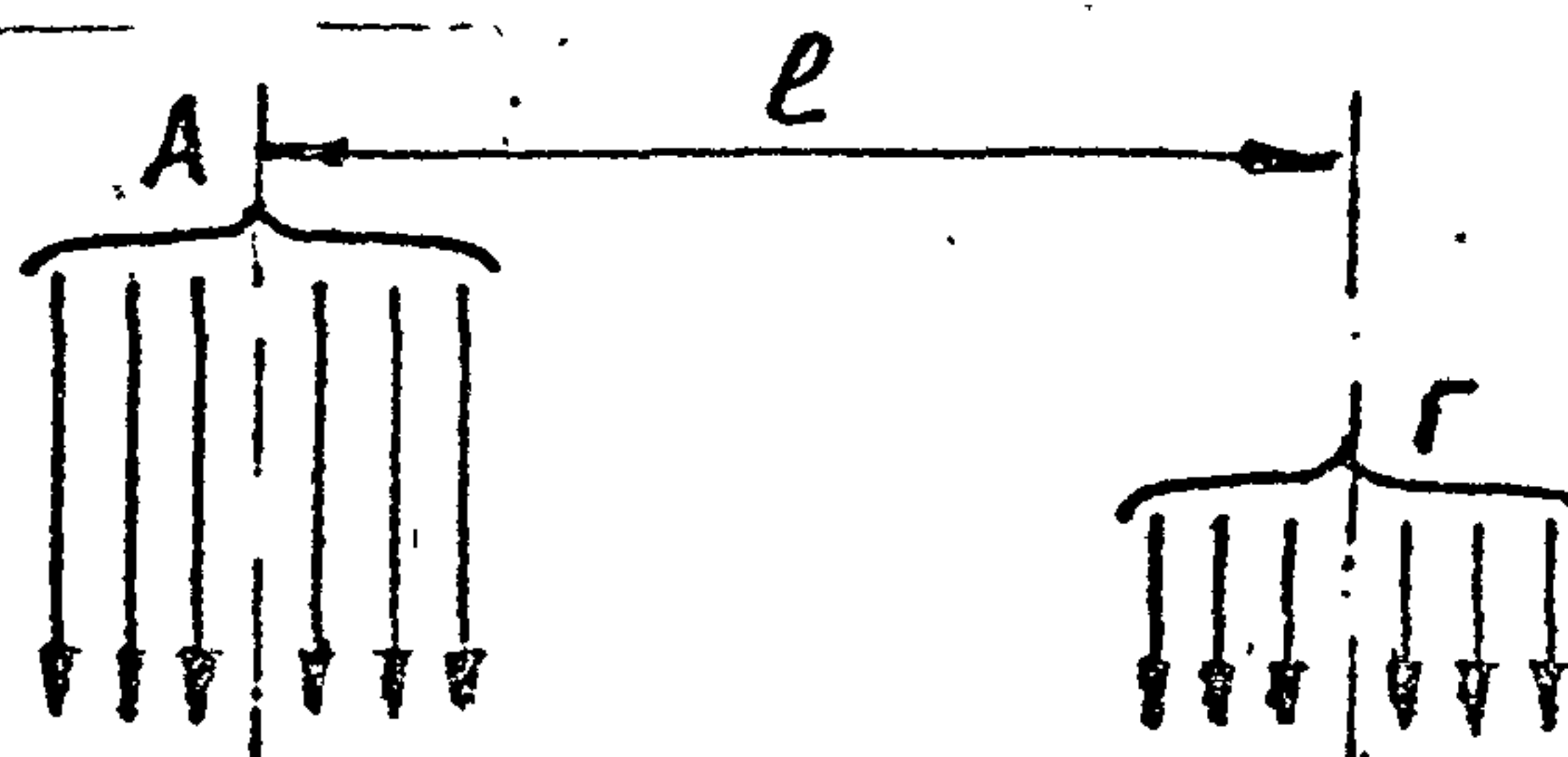
2.8. Расчетные значения изгибающих моментов, растягивающих нижнюю часть балки, определяют умножением нормативного значения на коэффициент условий работы $m=1,35$, учитывающий неоднородность свойств грунтового основания под балкой.

Значения расчетных изгибающих моментов, растягивающих верхнюю часть балки, полученных по комбинированной модели с односторонней связью балки с основанием, умножаются на $m=1,0$, а по упругой модели - на $m=0,8$.

2.9. Наибольший уклон рельсового пути получают при расположении нагрузки у стыка сборных балок, если жесткость стыка меньше жесткости балки.

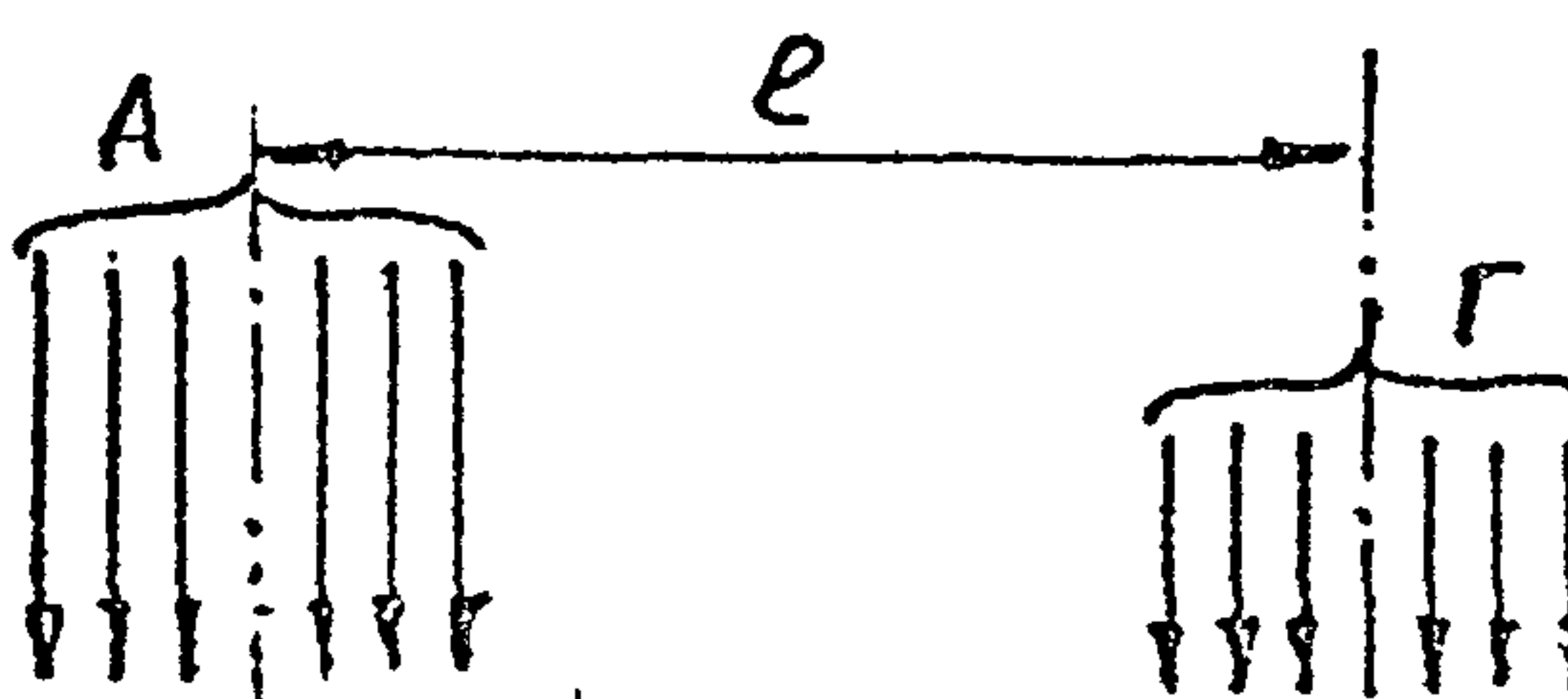
Допускается проводить расчет балок, у которых стык имеет жесткость, равной жесткости балки. Тогда полученный наибольший прогиб в месте стыка Δ_0 следует умножить на величину K_u , определяемую по графику (рис. 2) по значениям отношения жесткости стыка к

Схема I



q

Схема 2



q

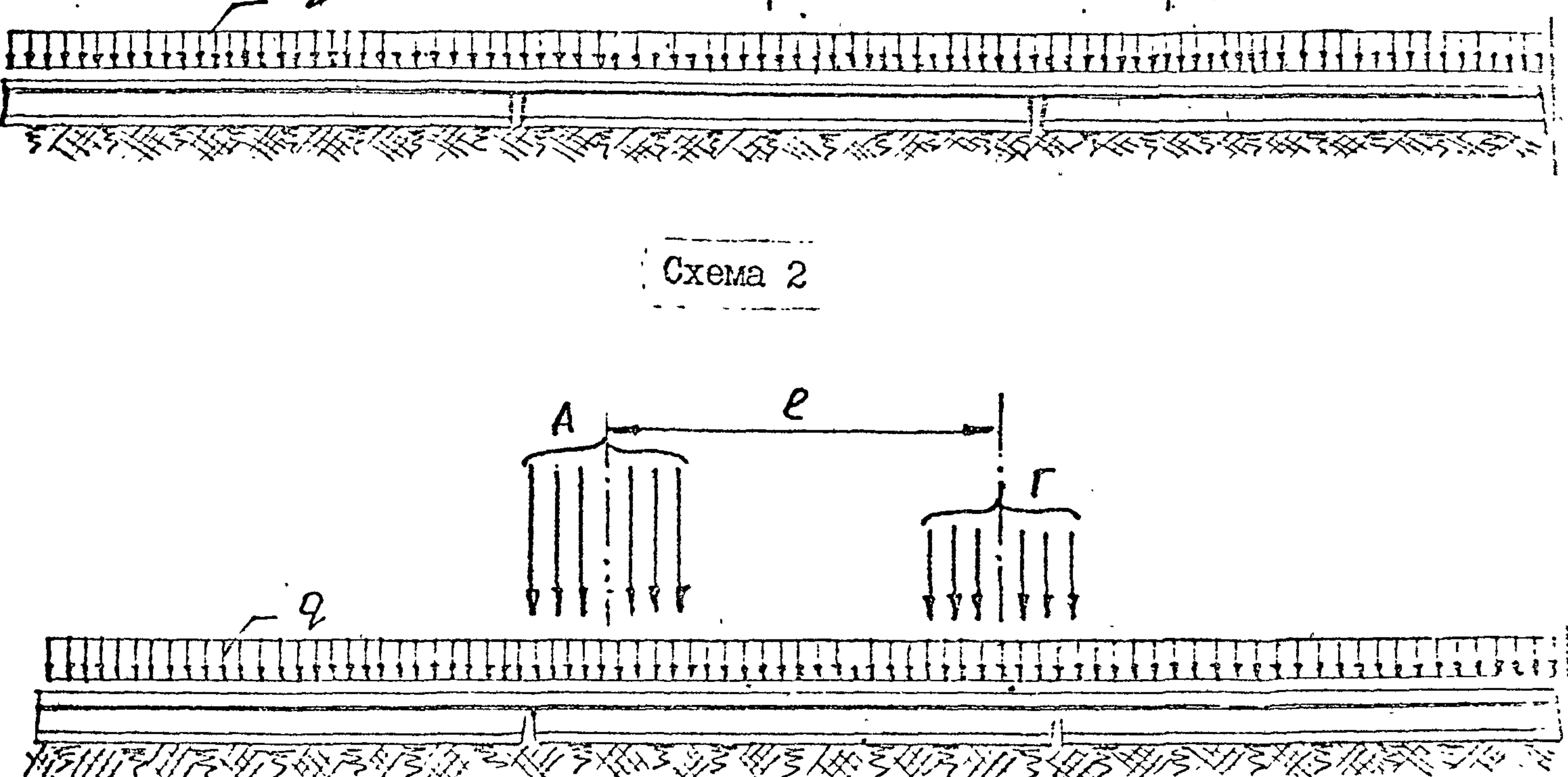


Рис. I. Схемы нагрузок от крана

e - расстояние между осями ног крана, м,

A, Γ - нагрузки на ноги крана, определяемые по РД 31.31.37-78,

q - собственный вес конструкции, $\text{кН}/\text{м}$.

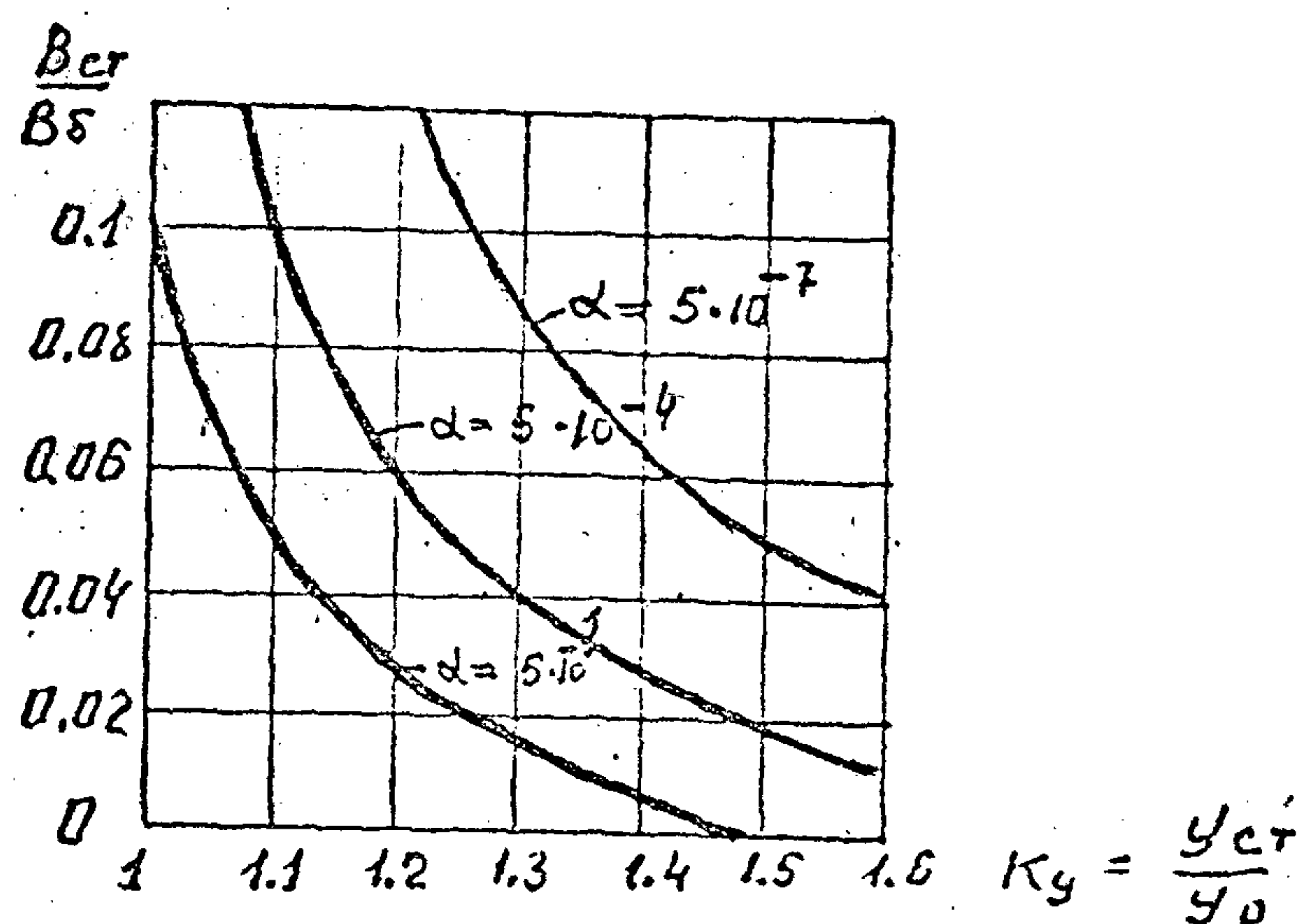


Рис. 2. График определения поправочного коэффициента K_y к прогибу балки в месте стыка.

B_{cr} - жесткость стыка; B_d - жесткость балки $\text{Па} \cdot \text{м}^4$;

α - показатель гибкости системы "балка-основание"

$$\alpha = \frac{\pi c_y^4 \cdot E_0}{6 B_d (1 - M_0^2)} ;$$

y_{cr} - осадка балки в месте стыка, жесткость которого отличается от жесткости балки, м;

y_0 - осадка балки в месте стыка, жесткость которого равна жесткости балки, $B_{cr} = B_d, \text{м}$.

жесткости балки и показателю гибкости системы $\alpha = \frac{\pi \cdot E_0 \cdot C_y^4}{6 \cdot B_0 (1 - \mu^2)}$
где-

C_y - длина участка, на которые поделена балка при расчете по методу Б.Н. Жемочкина, м.

2.10. Наибольший уклон рельсового пути должен быть меньше или равен нормативному уклону или допускаемому уклону для конкретного крана или перегружателя. Нормативный уклон принимают по таблице 5 "Правил устройства и эксплуатации грузоподъемных кранов" Металлургия, 1976 г.

2.11. Нормативные изгибающие моменты, действующие в поперечном направлении балки, и перерезывающие силы определяют для сечения, в котором действует наибольшее реактивное давление при расчете в продольном направлении. Эпюра реактивного давления в поперечном направлении принимается равномерной с ординатой, равной давлению в этом сечении, полученному при расчете в продольном направлении.

2.12. Расчетные изгибающие моменты в поперечном направлении определяют по нормативным значениям, умноженным на коэффициент условия работы m : для $0,1 > \alpha \geq 0,01 - m = 0,9$
для $\alpha < 0,01$

$$m = 1,25 - 0,35 \bar{R} \quad (10)$$

где \bar{R} - относительное напряжение на грунтовое основание в месте определения изгибающих моментов в поперечном направлении,

2.13. Необратимые деформации грунтового основания после приложения нагрузки более 30 раз определяют по формуле;

$$U_{\text{необр.}}^{n=1} = 1,5 \cdot U_{\text{необр.}, 1}^{n=1} \quad (II)$$

где $U_{\text{необр.}}^{n=1}$ - необратимые деформации после первого загружения, определяемые расчетом, м.

$\gamma_{\text{необр.}}^{n>30}$ - необратимые деформации после многократного загружения,

3. Конструирование и подготовка основания.

3.1. Длина сборных железобетонных конструкций основания рельсового пути должна быть равной длине рельса.

3.2. Высота сборных балок выбирается в диапазоне от 0,45 до 0,8 м. Высота балки определяется по необходимой жесткости, при которой наибольший уклон рельсового пути меньше или равен нормативному значению.

3.3. Для балок рекомендуется принимать наиболее экономичное тавровое сечение.

3.4. Ширину подошвы балки принимают в диапазоне от 1,0 до 1,8 м. Конкретные размеры назначают по результатам расчета по второй группе предельных состояний.

3.5. Полку, тавра балки проектируют толщиной 0,2 - 0,25 м в месте примыкания к ребру и 0,1 - 0,15 м на конце полки.

Толщину ребра таврового сечения балки рекомендуется назначать от 0,3 до 0,5 м (Рис. 3)

3.6. В месте стыка балок проектируют соединения, которые должны обеспечить наименьшую разность деформаций концов смежных балок. Возможные конструктивные решения приведены на рис. 4.

3.7. Конструктивные соединения балок должны обеспечивать быстрый монтаж и демонтаж для производства текущего ремонта и подбивки основания.

3.8. Крепления рельса к сборной железобетонной балке должны обеспечивать возможность монтажного перемещения рельса в сторону от оси на ± 20 мм и по высоте + 20 мм.

Проверенное в эксплуатации крепление приведено на рис. 5.

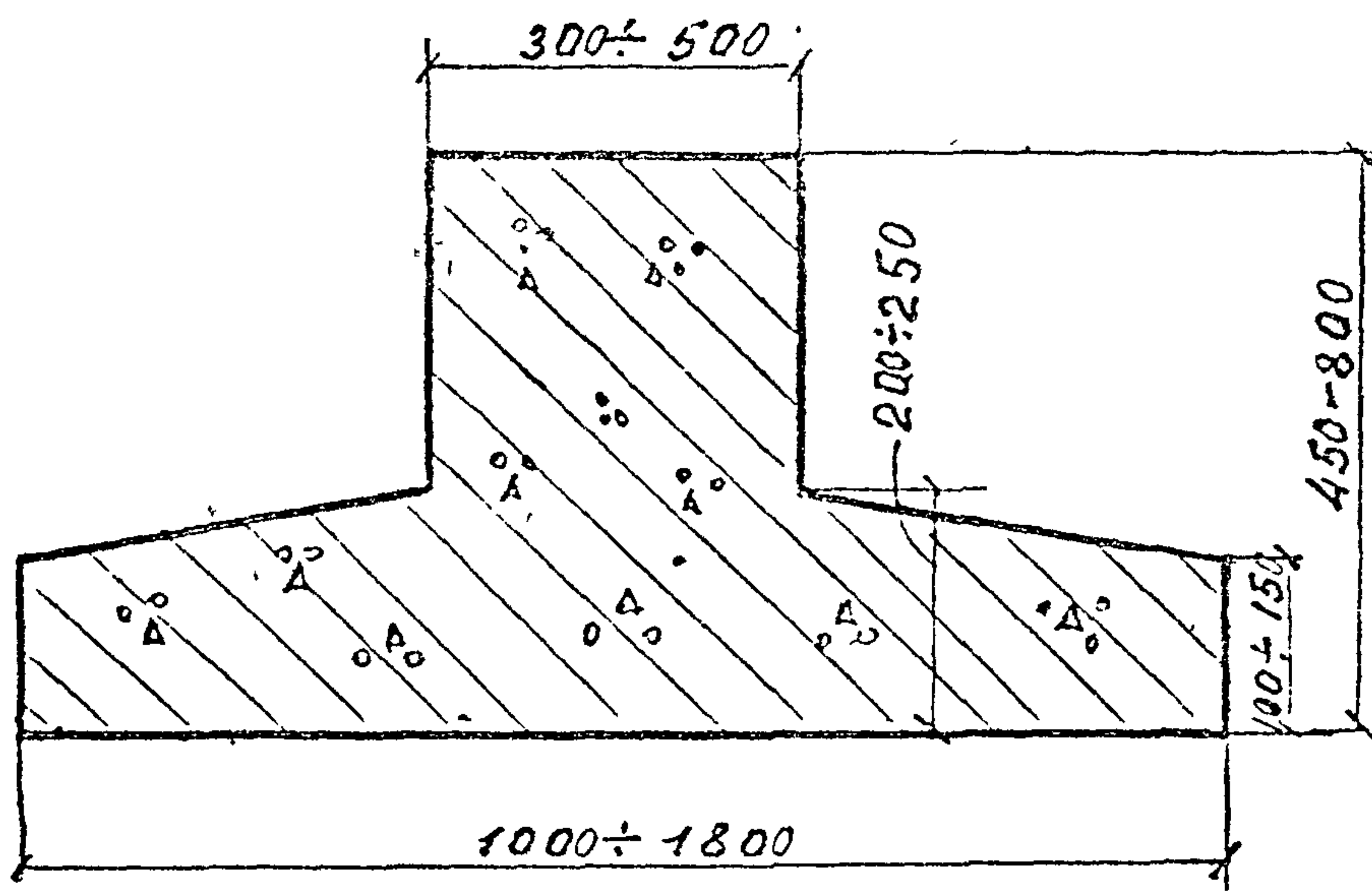


Рис. 3.

Рекомендуемые размеры сечения
балки.

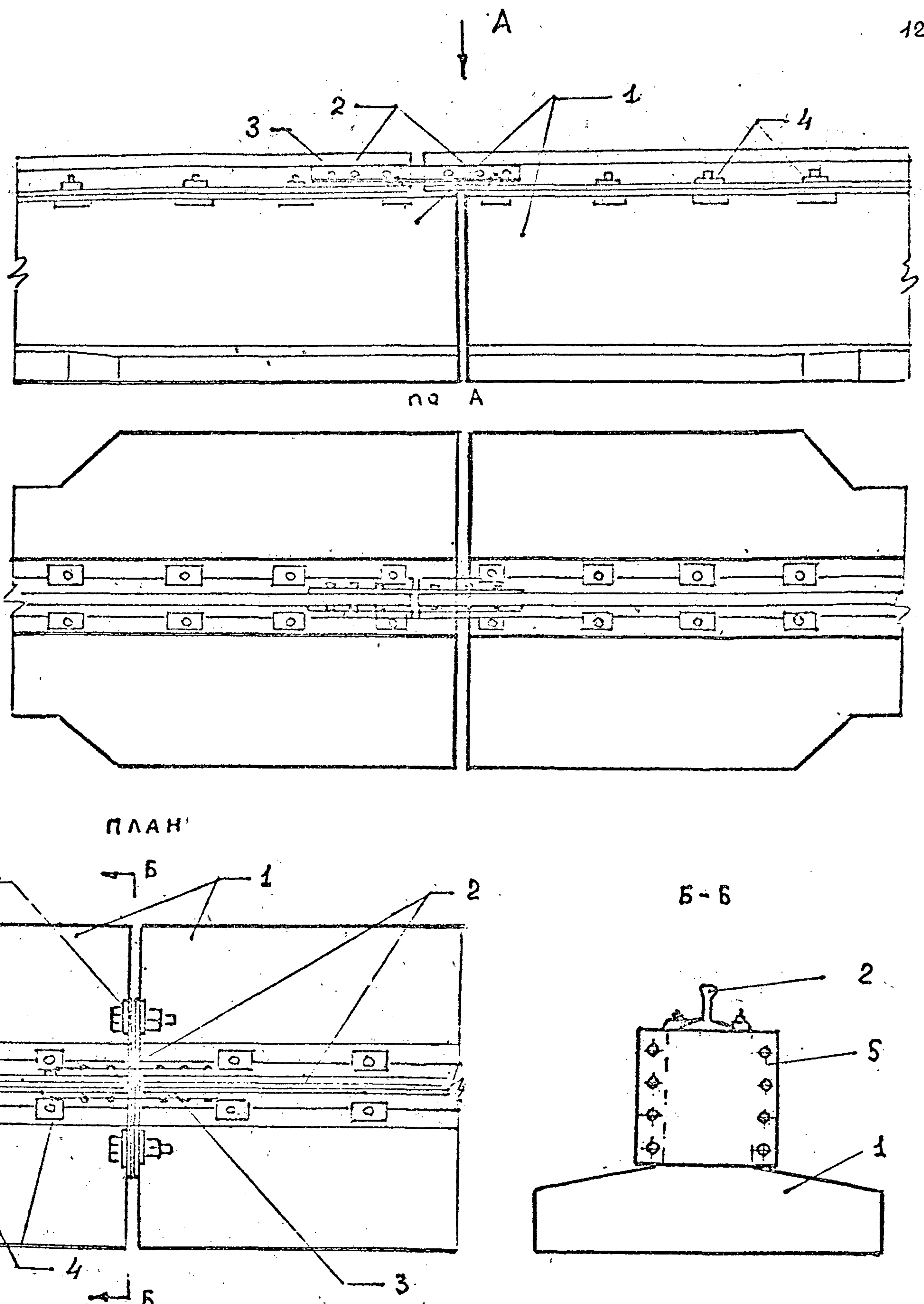


Рис. 4. Конструктивные решения соединения балок.

I - сборные балки; 2 - рельсы; 3 - рельсовые соединительные накладки; 4 - крепление рельса к балке; 5 - фланцевое соединение балок.

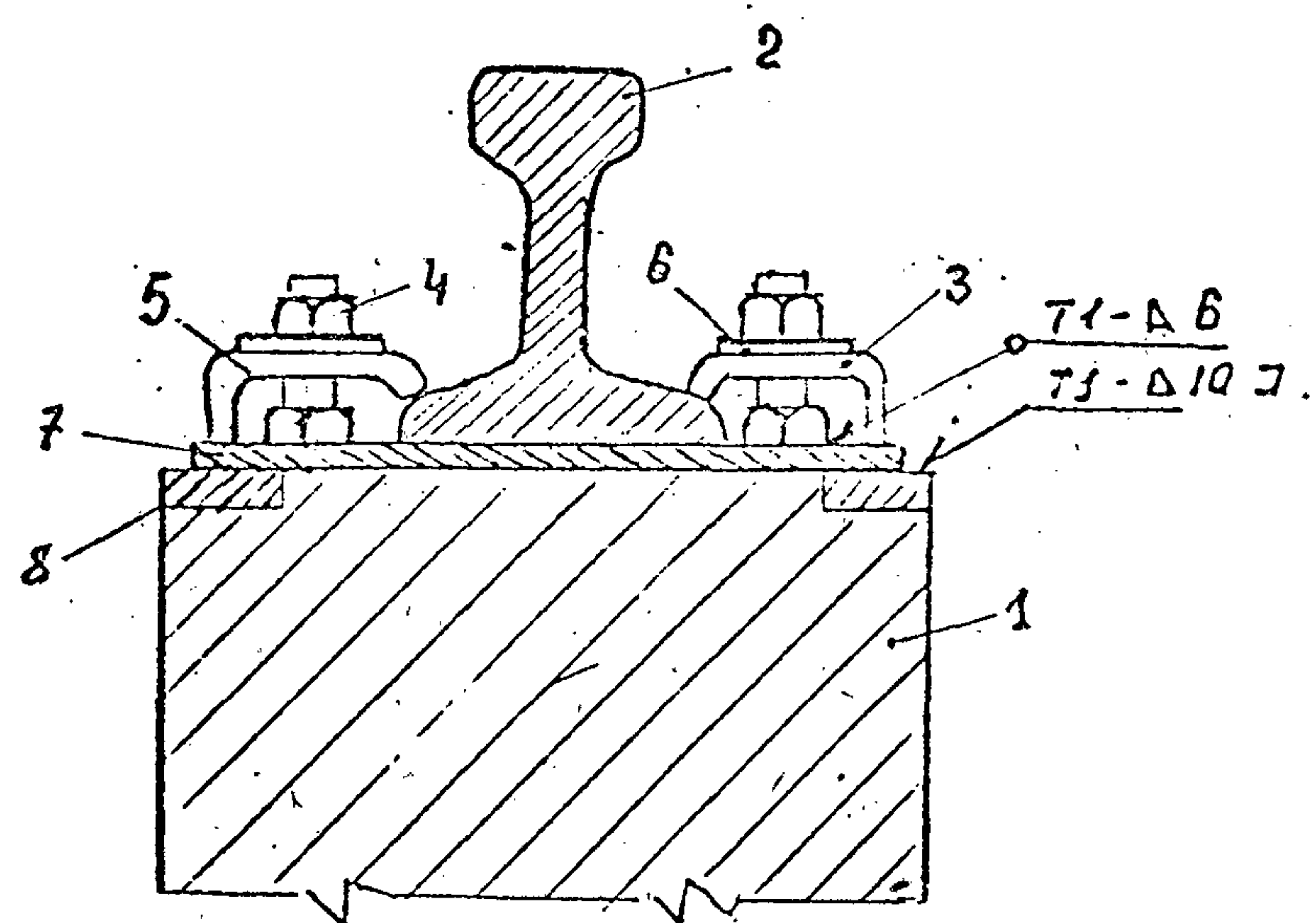


Рис. 5. Крепление рельса к балке.

1-балка; 2- рельс; 3- клемма; 4- гайка; 5- болт;
6 -шайба ; 7- металлическая подкладка ; 8- закладная деталь .

3.II. До укладки балок на грунтовое основание с целью уменьшения накопления остаточных деформаций под концами балок рекомендуется произвести уплотнение грунта в местах стыка балок до $\lambda_0,7$.

3.II. До ввода в эксплуатацию рельсовых путей рекомендуется производить обкатку пути кранами при незаполненной грунтом траншеи, в которую уложены балки.

Количество проходов крана по балкам следует назначать не менее 30.

Приложение I
(обязательное)

Нормативные характеристики грунтового основания,
образованного при строительстве.

Грунты основания	Относительная плотность	Угол внутрен- него трения и коэффициент варiations	Модуль деформации Е МПа и коэффициент Пуассона μ при нагрузке q на основание						
			0,2	0,4	0,6	E	M	E	M
Гравийный или щебеноч- ный	D	φ°	J_φ	E	M	E	M	E	M
	0,6	35	0,045	27	0,25	22	0,25	16	0,27
Крупный песок	0,8	36		55	43			31	
	0,6	34	0,047	23	0,28	20	0,29	14	0,3
Средней крупности песок	0,8	35		47		38		30	
	0,6	33	0,05	20	0,31	16	0,32	12	0,33
Мелкий песок	0,8	34		40		35		28	
	0,6	32	0,07	16	0,33	14	0,33	10	0,34
	0,8	33		35		29		24	

Приложение № 2
(рекомендуемое)

Примеры расчета
сборных конструкций балок, выполненных
по комбинированной модели основания.

Приложение 2
продолжение

Пояснения к результатам расчета.

Конструкция основания рельсовых путей состоит из сборных балок длиной 12,5 м, соединенных между собой рельсом.

Для расчета конструкции балок они условно разбиты на участки длиной 1 м. Каждый участок имеет жесткость, определенную для балки высотой 0,65 м. В месте стыка балок участок имеет жесткость рельса.

Грунтовое основание представлено комбинированной моделью, которая позволяет производить расчеты при нелинейной зависимости осадок от нагрузки.

Связь между конструкцией и основанием односторонняя т.е. учитывается влияние основания только для сжимающих усилий.

Программа для расчета балок на ЭВМ написана на языке Фортран хранится в Союзморниипроекте.

Характеристики основания приняты для песчаных грунтов (мелких песков, песков средней крупности и крупных песков) с относительной плотностью сложения основания $D_s > 0,6$.

Нагрузка на рельсовые пути от крана принята в соответствии с Нормами технологического проектирования морских портов, РД 31.31.37-78 и относится к нагрузке К-35 при шести катках в ноге крана.

Эта схема дает наибольшие усилия в конструкции и деформации ее.

Расчеты проведены для балок, имеющих ширину плиты подошвы 1,2 и 1,8 м.

LICENCIENCE MATHÉMATIQUE

ИДИОЛОРДЫ. ИПОДОЛОРДЫ.

$$\begin{aligned}\varphi &\approx 32^\circ \\ \gamma &= 17,5 \frac{\text{kg}}{\text{m}^3} \\ \alpha &= 0,6 \\ E_0 &= 104 \cdot 10^9 \text{ N/m}^2 \\ \alpha &= 0,027\end{aligned}$$

$$h \approx 0.65 \text{ m}$$

Нагрудка по



• 1200 kHz

2100. KHz

三

$$Q = 1,5 \frac{KH}{\mu} \dots$$

ИЗГИБАЮЩИЕ МОМЕНТЫ РЕАКТИВНОЕ ДАВЛЕНИЕ ПРОГИБЫ Х/10 кНм Х/10 м		ПРОГИБЫ длр. м	
		сум.	
0.1283	-0.87380	-0.00444	0.45133
0.29617	-1.77386	-0.00539	-0.17731
0.38101	-1.16055	-0.00532	-0.06936
0.18573	-1.31359	-0.00563	-0.14507
0.03691	-1.21558	-0.00588	-0.22377
-0.17849	-1.29766	-0.00612	-0.28097
-0.45715	-1.28999	-0.00637	-0.32899
-0.76140	-1.29763	-0.00659	-0.27810
-1.01267	-1.18116	-0.00681	-0.11993
-0.98685	-0.63235	-0.00847	-0.62125
-1.96552	-0.90087	-0.00912	-3.62225
-5.56824	-0.60227	-0.0761	-5.12496
-9.85694	-2.78522	-0.1378	-3.28269
-11.36903	-2.75398	-0.2225	-15.72298
-19.27640	-14.62549	-0.3245	-21.53746
-25.156688	-19.97389	-0.4408	-24.64607
-27.1.96349	-12.67152	-0.5342	-19.64346
-27.0.32673	-27.1953	-0.6318	-22.86902
-46.72644	-12.4.83530	-0.5995	-47.0.5766
-41.48587	-12.0.48213	-0.4997	-23.97910
-13.95836	-11.5.59844	-0.376	-6.76097
-22.0.8865	-11.1.30162	-0.2920	-15.30074
-17.71207	-11.7.93244	-0.2345	-13.32566
-16.26025	-11.1.70791	-0.1771	-13.87515
-10.42341	-11.1.66956	-0.2640	-12.0.0725
-29.55587	-14.1.37469	-0.3473	-25.55455
-61.51344	-16.6.61124	-0.3673	-10.0.2750
-28.53294	-15.0.1038	-0.3144	-10.0.2992
-9.64563	-12.1.23540	-0.2822	-10.0.2355
-3.62862	-14.0.2780	-0.2056	-10.0.1901
7.88963	-9.1.5563	-0.1483	-11.64803
6.86512	-3.1.4276	-0.1112	-3.91935
3.74511	-6.1.134	-0.0916	-3.03296
3.83641	-6.0.0164	-0.0487	-1.53098
-3.49387	-6.0.0424	-0.0210	-0.002590

Исходные данные

$$\varphi = 32^\circ$$

$$\gamma = 175 \frac{\text{кН}}{\text{м}^3}$$

$$\delta = 0.8$$

$$E_c = 176 \text{ МПа}$$

$$\alpha = 0.046$$

$$h = 0.65 \text{ м}$$

$$b = 1.2 \text{ м}$$

Нагрузка по

K-35 Схема 1.

Приложение 2
продолжение

ЗГИВАЖНИЕ МОМЕНТІВ РЕАКТИВНОСІ ДАВЛЕННЯ ПРОГИБІВ
Х/10 КН/М

Х/10 КН/М

0.12000	-0.56461
-1.17130	-0.030412
-0.33152	-0.00508
0.32330	-0.00598
0.26550	-0.00492
0.16833	-0.00528
-0.11281	-0.00547
-0.70219	-0.00592
-0.70092	-0.00611
-0.91272	-0.00630
-0.86632	-0.00645
-0.18193	-0.00646
1.65595	-0.00660
4.94365	-0.00660
8.25568	-0.01236
-1.72802	-0.00691
-0.01223	-0.00608
-0.00628	-0.00628
-0.00568	-0.00568
-0.00544	-0.00544
-0.00525	-0.00525
-0.00497	-0.00497
-0.00471	-0.00471
-0.00445	-0.00445
-0.00424	-0.00424
-0.00403	-0.00403
-0.00382	-0.00382
-0.00361	-0.00361
-0.00340	-0.00340
-0.00319	-0.00319
-0.00298	-0.00298
-0.00277	-0.00277
-0.00256	-0.00256
-0.00235	-0.00235
-0.00214	-0.00214
-0.00193	-0.00193
-0.00172	-0.00172
-0.00151	-0.00151
-0.00130	-0.00130
-0.00109	-0.00109
-0.00088	-0.00088
-0.00067	-0.00067
-0.00046	-0.00046
-0.00025	-0.00025
-0.00004	-0.00004
0.00012	0.00012
0.00031	0.00031
0.00050	0.00050
0.00069	0.00069
0.00088	0.00088
0.00107	0.00107
0.00126	0.00126
0.00145	0.00145
0.00164	0.00164
0.00183	0.00183
0.00202	0.00202
0.00221	0.00221
0.00240	0.00240
0.00259	0.00259
0.00278	0.00278
0.00297	0.00297
0.00316	0.00316
0.00335	0.00335
0.00354	0.00354
0.00373	0.00373
0.00392	0.00392
0.00411	0.00411
0.00430	0.00430
0.00449	0.00449
0.00468	0.00468
0.00487	0.00487
0.00506	0.00506
0.00525	0.00525
0.00544	0.00544
0.00563	0.00563
0.00582	0.00582
0.00601	0.00601
0.00620	0.00620
0.00639	0.00639
0.00658	0.00658
0.00677	0.00677
0.00696	0.00696
0.00715	0.00715
0.00734	0.00734
0.00753	0.00753
0.00772	0.00772
0.00791	0.00791
0.00810	0.00810
0.00829	0.00829
0.00848	0.00848
0.00867	0.00867
0.00886	0.00886
0.00905	0.00905
0.00924	0.00924
0.00943	0.00943
0.00962	0.00962
0.00981	0.00981
0.01000	0.01000
0.01019	0.01019
0.01038	0.01038
0.01057	0.01057
0.01076	0.01076
0.01095	0.01095
0.01114	0.01114
0.01133	0.01133
0.01152	0.01152
0.01171	0.01171
0.01190	0.01190
0.01209	0.01209
0.01228	0.01228
0.01247	0.01247
0.01266	0.01266
0.01285	0.01285
0.01304	0.01304
0.01323	0.01323
0.01342	0.01342
0.01361	0.01361
0.01380	0.01380
0.01400	0.01400
0.01419	0.01419
0.01438	0.01438
0.01457	0.01457
0.01476	0.01476
0.01495	0.01495
0.01514	0.01514
0.01533	0.01533
0.01552	0.01552
0.01571	0.01571
0.01590	0.01590
0.01609	0.01609
0.01628	0.01628
0.01647	0.01647
0.01666	0.01666
0.01685	0.01685
0.01704	0.01704
0.01723	0.01723
0.01742	0.01742
0.01761	0.01761
0.01780	0.01780
0.01799	0.01799
0.01818	0.01818
0.01837	0.01837
0.01856	0.01856
0.01875	0.01875
0.01894	0.01894
0.01913	0.01913
0.01932	0.01932
0.01951	0.01951
0.01970	0.01970
0.01989	0.01989
0.02008	0.02008
0.02027	0.02027
0.02046	0.02046
0.02065	0.02065
0.02084	0.02084
0.02103	0.02103
0.02122	0.02122
0.02141	0.02141
0.02160	0.02160
0.02179	0.02179
0.02198	0.02198
0.02217	0.02217
0.02236	0.02236
0.02255	0.02255
0.02274	0.02274
0.02293	0.02293
0.02312	0.02312
0.02331	0.02331
0.02350	0.02350
0.02369	0.02369
0.02388	0.02388
0.02407	0.02407
0.02426	0.02426
0.02445	0.02445
0.02464	0.02464
0.02483	0.02483
0.02502	0.02502
0.02521	0.02521
0.02540	0.02540
0.02559	0.02559
0.02578	0.02578
0.02597	0.02597
0.02616	0.02616
0.02635	0.02635
0.02654	0.02654
0.02673	0.02673
0.02692	0.02692
0.02711	0.02711
0.02730	0.02730
0.02749	0.02749
0.02768	0.02768
0.02787	0.02787
0.02806	0.02806
0.02825	0.02825
0.02844	0.02844
0.02863	0.02863
0.02882	0.02882
0.02901	0.02901
0.02920	0.02920
0.02939	0.02939
0.02958	0.02958
0.02977	0.02977
0.02996	0.02996
0.03015	0.03015
0.03034	0.03034
0.03053	0.03053
0.03072	0.03072
0.03091	0.03091
0.03110	0.03110
0.03129	0.03129
0.03148	0.03148
0.03167	0.03167
0.03186	0.03186
0.03205	0.03205
0.03224	0.03224
0.03243	0.03243
0.03262	0.03262
0.03281	0.03281
0.03300	0.03300
0.03319	0.03319
0.03338	0.03338
0.03357	0.03357
0.03376	0.03376
0.03395	0.03395
0.03414	0.03414
0.03433	0.03433
0.03452	0.03452
0.03471	0.03471
0.03490	0.03490
0.03509	0.03509
0.03528	0.03528
0.03547	0.03547
0.03566	0.03566
0.03585	0.03585
0.03604	0.03604
0.03623	0.03623
0.03642	0.03642
0.03661	0.03661
0.03680	0.03680
0.03699	0.03699
0.03718	0.03718
0.03737	0.03737
0.03756	0.03756
0.03775	0.03775
0.03794	0.03794
0.03813	0.03813
0.03832	0.03832
0.03851	0.03851
0.03870	0.03870
0.03889	0.03889
0.03908	0.03908
0.03927	0.03927
0.03946	0.03946
0.03965	0.03965
0.03984	0.03984
0.04003	0.04003
0.04022	0.04022
0.04041	0.04041
0.04060	0.04060
0.04079	0.04079
0.04098	0.04098
0.04117	0.04117
0.04136	0.04136
0.04155	0.04155

ЗРУБАЮЩИЕ МОМЕНТЫ РЕАКТИВНОЕ АДДИТИВНОЕ ПРОГИБЫ
Х/10 КН/ММ Х/10 КПД СУММ.

ПРОГИБЫ групп. 1/1	ПРЕДЕЛЫ ВЪДУШНОСТИ
-0.03134	-0.90297
-0.14345	-0.87357
-0.26384	-0.70163
-0.30225	-0.87434
-0.35209	-0.92641
-0.53063	-0.92818
-0.87611	-0.94628
-1.41130	-0.74045
-2.38290	-0.33482
-1.86907	-0.00222
-0.00502	-0.00195
8.35868	-0.83819
19.74867	-4.57434
18.70082	-8.78137
-8.89572	-13.52681
-36.05232	-17.90966
-53.68515	-20.32330
-52.80293	-20.26924
-33.36630	-17.84605
-6.35807	-13.57181
16.90855	-7.915848
18.72275	-0.023307
13.67212	-0.02398
14.23640	-0.02398
-9.12506	-0.021372
-24.76282	-0.01723
-34.27870	-0.01738
-33.29686	-0.01934
-21.72672	-0.01754
6.46862	-0.01438
9.26169	-0.01364
7.25587	-0.00578
3.62267	-0.00394
0.05217	-0.00325
-0.429210	-1.02180

ПРЕДЕЛЫ СИЛЫ
Х/10 КН/М

ПРОГИБЫ групп. 1/1	ПРЕДЕЛЫ СИЛЫ Х/10 КН/М
-0.00263	-0.12534
-0.00281	-0.9776
-0.00285	-0.03931
-0.00305	-0.03457
-0.00325	-0.16964
-0.00341	-0.34037
-0.00359	-0.54353
-0.00368	-0.70133
-0.00368	-0.53414
-0.00370	-0.36319
-0.00370	-1.86360
-0.00373	-3.36567
-0.00377	-5.89776
-0.00381	-1.54639
-0.00381	-15.46109
-0.00387	-3.8730934
-0.00397	-16.54668
-0.01051	-1.15463
-0.01054	-1.15463
-0.01544	-1.15463
-0.02097	-0.87137
-0.02615	18.33275
-0.02922	4.020984
-0.02922	17.28059
-0.02922	2.29533
-0.02922	-6.37523
-0.02922	-10.91168
-0.02922	-8.68845
-0.01648	-0.78835
-0.01648	-23.37325
-0.01648	9.88344
-0.01648	2.01303
-0.01648	-2.81884
-0.01648	-6.31927

Исходные данные

$$\varphi = 32^\circ$$

$$g = 175 \frac{\text{кН}}{\text{м}^3}$$

$$\beta = 0.8$$

$$E_c = 217 \text{ ГПа}$$

$$\alpha = 0.057$$

$$h = 0.65 \text{ м}$$

Нагрузка по

K-35 Схема 1

Приложение

продолжение

ИЗГИБАЮЩИЕ МОМЕНТЫ РЕАКТИВНОЕ ДАВЛЕНИЕ ПРОГРАММЫ
Х/10. КН/М

0.26060	-0.38201	0.000534
0.76989	-0.15565	-0.00723
0.98195	-1.29812	-0.00702
0.87201	-1.32146	-0.00728
0.69320	-1.28855	-0.00754
0.48140	-1.21138	-0.00778
0.26686	-1.19784	-0.00810
0.19119	-1.13603	-0.00843
0.22793	-1.06942	-0.00881
0.51228	-0.65671	-0.00919
1.30143	-0.43062	-0.00949
3.05963	-0.00017	-0.01007

ИПЕРЕЗЫВАЮЩИЕ СИЛЫ
Х/10. КН/М

1.04158

-0.00533
-0.00714
-0.00697
-0.00694
-0.00692
-0.00697
-0.00723
-0.00728
-0.00754
-0.00778
-0.00775
-0.00805
-0.00801
-0.00838
-0.00876
-0.00876
-0.00855
-0.00858
-0.00876
-0.00824
-0.00820
-0.01020
-0.01363
-0.02322
-0.02676
-0.02676
-0.03598
-0.03598
-0.04526
-0.04526
-0.05361
-0.05361
-0.05832
-0.05832
-0.05824
-0.05824
-0.05513
-0.05513
-0.04855
-0.04855
-0.04125
-0.04125
-0.03484
-0.03484
-0.02975
-0.02975
-0.03131
-0.03131
-0.03506
-0.03506
-0.03727
-0.03727
-0.03478
-0.03478
-0.03793
-0.03793
-0.02927
-0.02927
-0.02405
-0.02405
-0.01904
-0.01904
-0.01432
-0.01432
-0.01014
-0.01014
-0.00624
-0.00624
-0.00226

6.18901	0.00212
9.72262	-0.65763
9.85594	-0.2119
0.68572	-1.4172
26.13510	-1.52412
57.55138	-2.64147
78.35700	-2.6774
76.36204	-2.67384
51.62042	-2.4.35594
14.72900	-2.0.72813
12.51355	-1.5.24152
22.05402	-1.2.02519
18.35864	-0.9.363
15.38354	-1.1.45435
11.26186	-1.1.76518
31.66280	-1.4.20089
44.89833	-1.5.64692
45.25616	-1.5.68069
32.82001	-1.4.44559
13.37251	-1.1.76397
1.04904	1.04904
6.09023	6.09023
6.09564	6.09564
3.09937	3.09937
9.24112	9.24112

ИЗГИБАЮЩИЕ МОМЕНТЫ
 $\psi = 34^\circ$
 $\gamma = 175 \text{ кН} \cdot \text{м}^3$
 $D = 0.6$
 $E_c = 136 \text{ МПа}$
 $\alpha = 0.036$

$h = 0.65 \text{ м}$
 $L = 1.2 \text{ м}$

Нагрузка по
K-35 Схема f

ПРИМЕНЕНИЕ
ПРОДОЛЖЕНИЕ

ИЗГИБАЮЩИЕ МОМЕНТЫ РЕАКТИВНОЕ ДАВЛЕНИЕ ПРОГИБЫ $\chi / 10^3 \text{Нм}$	
0.00861	-1.22129.
0.04584	-1.51753
0.00397	-0.00355
0.00393	-0.00393
0.00395	-0.00395
0.00396	-0.00396
0.00425	-0.00425
0.00449	-1.35374
0.00471	-1.37173
0.00490	-1.36560
0.00498	-1.29498
0.00506	-1.06882
0.00515	-1.05913
0.00516	-0.58786
0.00513	-0.60020
0.00513	-0.60167
0.00509	-0.60202
0.00509	-1.47977
0.00505	-1.01564
0.00504	-0.01481
0.00502	-4.70608
0.00394	-0.47739
0.00422	-1.97763
0.00446	-0.53458
0.00466	-0.31717
0.00486	-0.48061
0.00502	-0.00512
0.00512	-0.00514
0.00513	-0.00513
0.00509	-0.00509
0.00505	-0.00505
0.00505	-4.98181
0.00498	-4.70608
0.00496	-3.09602
0.00396	-1.87135
0.00425	-6.07345
0.00449	-18.03613
0.00471	-1.23291
0.00490	-20.43504
0.00515	-4.32358
0.00516	-20.25006
0.00517	-4.21875
0.00518	-6.09386
0.00519	-1.72985
0.00520	-21.44938
0.00521	-7.79732
0.00522	-10.11032
0.00523	-1.06854
0.00524	-11.32091
0.00525	-2.67239
0.00526	-1.2.53708
0.00527	-4.18976
0.00528	-3.05319
0.00529	-1.55182
0.00530	-0.04724

ПРОГИБЫ
 $\chi / 10^3 \text{Нм}$

+0.00393
+0.00395
+0.00396

+0.00397

+0.00398

+0.00399

+0.00400

+0.00401

+0.00402

+0.00403

+0.00404

+0.00405

+0.00406

+0.00407

+0.00408

+0.00409

+0.00410

+0.00411

+0.00412

+0.00413

+0.00414

+0.00415

+0.00416

+0.00417

+0.00418

+0.00419

+0.00420

+0.00421

+0.00422

+0.00423

+0.00424

+0.00425

+0.00426

+0.00427

+0.00428

+0.00429

+0.00430

+0.00431

+0.00432

+0.00433

+0.00434

+0.00435

+0.00436

+0.00437

+0.00438

+0.00439

+0.00440

+0.00441

+0.00442

СУММЫ	
-1.22129.	-0.00395
-1.51753	-0.00397
-0.00393	-0.00393
-0.00395	-0.00395
-0.00396	-0.00396
-0.00397	-0.00397
-0.00398	-0.00398
-0.00399	-0.00399
-0.00400	-0.00400
-0.00401	-0.00401
-0.00402	-0.00402
-0.00403	-0.00403
-0.00404	-0.00404
-0.00405	-0.00405
-0.00406	-0.00406
-0.00407	-0.00407
-0.00408	-0.00408
-0.00409	-0.00409
-0.00410	-0.00410
-0.00411	-0.00411
-0.00412	-0.00412
-0.00413	-0.00413
-0.00414	-0.00414
-0.00415	-0.00415
-0.00416	-0.00416
-0.00417	-0.00417
-0.00418	-0.00418
-0.00419	-0.00419
-0.00420	-0.00420
-0.00421	-0.00421
-0.00422	-0.00422
-0.00423	-0.00423
-0.00424	-0.00424
-0.00425	-0.00425
-0.00426	-0.00426
-0.00427	-0.00427
-0.00428	-0.00428
-0.00429	-0.00429
-0.00430	-0.00430
-0.00431	-0.00431
-0.00432	-0.00432
-0.00433	-0.00433
-0.00434	-0.00434
-0.00435	-0.00435
-0.00436	-0.00436
-0.00437	-0.00437
-0.00438	-0.00438
-0.00439	-0.00439
-0.00440	-0.00440
-0.00441	-0.00441

ПРОГИБЫ $\chi / 10^3 \text{Нм}$	
-0.00394	-0.03716
-0.00422	-0.07132
-0.00446	-0.19588
-0.00466	-0.34138
-0.00486	-0.48061
-0.00502	-0.53458
-0.00512	-0.31717
-0.00486	-0.47739
-0.00513	-1.97763
-0.00513	-3.47939
-0.00513	-4.98181
-0.00514	-4.70608
-0.00514	-3.09602
-0.00515	-1.87135
-0.00515	-6.07345
-0.00516	-18.03613
-0.00517	-1.23291
-0.00518	-20.43504
-0.00519	-4.32358
-0.00520	-20.25006
-0.00521	-4.21875
-0.00522	-6.09386
-0.00523	-1.72985
-0.00524	-21.44938
-0.00525	-7.79732
-0.00526	-10.11032
-0.00527	-1.06854
-0.00528	-1.32091
-0.00529	-2.67239
-0.00530	-1.2.53708
-0.00531	-4.18976
-0.00532	-3.05319
-0.00533	-1.55182
-0.00534	-0.04724

ПРОГИБЫ $\chi / 10^3 \text{Нм}$	
-0.00394	-0.03716
-0.00422	-0.07132
-0.00446	-0.19588
-0.00466	-0.34138
-0.00486	-0.48061
-0.00502	-0.53458
-0.00512	-0.31717
-0.00486	-0.47739
-0.00513	-1.97763
-0.00513	-3.47939
-0.00513	-4.98181
-0.00514	-4.70608
-0.00514	-3.09602
-0.00515	-1.87135
-0.00515	-6.07345
-0.00516	-18.03613
-0.00517	-1.23291
-0.00518	-20.43504
-0.00519	-4.32358
-0.00520	-20.25006
-0.00521	-4.21875
-0.00522	-

ИЗГИБАЮЩИЕ МОМЕНТЫ РЕАКТИВНОЕ РАВИЕНИЕ ПРОГИБЫ
Х/10 кНм

нр.	изгибающий момент	реактивное равение прогиб
1	0.01801	-0.79330
2	-0.01614	-0.00330
3	-0.02933	-0.00373
4	-0.05833	-0.00367
5	-0.04711	-0.00394
6	-0.01153	-0.00418
7	-0.53887	-0.00434
8	-0.84861	-0.00452
9	-1.25384	-0.00469
10	-1.68570	-0.00480
11	-1.92010	-0.00481
12	-1.43739	-0.00473
13	-0.34083	-0.00466
14	-0.63015	-0.00524
15	-2.98227	-0.00855
16	-10.83653	-0.01379
17	-6.61706	-0.01989
18	-11.96751	-0.02524
19	-39.65120	-0.03548
20	-57.33714	-0.03762
21	-56.19887	-0.03780
22	-36.22672	-0.03414
23	-36.34602	-0.02814
24	-14.07093	-0.02216
25	-18.97447	-0.023414
26	-14.12505	-0.02314
27	-4.16720	-0.01747
28	-10.14540	-0.01707
29	-26.60880	-0.02085
30	-36.36343	-0.02313
31	-35.10533	-0.02321
32	-23.02495	-0.02095
33	-23.02415	-0.02195
34	-5.87374	-0.01741
35	-8.77627	-0.01028
36	-0.19346	-0.00712
37	-0.26137	-0.00543
38	-0.19346	-0.00403
39	-0.26137	-0.00204

ПРОГИБЫ
х/10 кН

нр.	изгибающий момент	реактивное равение прогиб
1	-0.00329	0.07205
2	-0.00371	0.28073
3	-0.00366	0.3773
4	-0.00393	0.66253
5	-0.00416	0.20329
6	-0.00432	0.30985
7	-0.00451	0.41529
8	-0.00467	0.47997
9	-0.00478	0.35333
10	-0.00480	0.24613
11	-0.00473	1.78793
12	-0.00466	3.28910
13	-0.00524	4.79005
14	-0.00524	4.53769
15	-0.00510	2.44887
16	-0.01369	1.51756
17	-0.01910	3.85422
18	-0.03078	1.650870
19	-0.03414	1.12784
20	-0.03631	18.80605
21	-0.03631	4.1.10873
22	-0.03138	3.48019
23	-0.02122	15.88644
24	-0.02641	1.08499
25	-0.02122	1.36974
26	-0.01699	1.79446
27	-0.01654	2.57635
28	-0.01390	8.90631
29	-0.01694	1.19965
30	-0.01182	23.75618
31	-0.01654	10.68057
32	-0.01933	1.88360
33	-0.01626	2.95930
34	-0.01012	3.83356
35	-0.01676	1.44551
36	-0.00541	1.54946
37	-0.00403	0.00403
38	-0.00204	0.04641

$$\begin{aligned}\varphi &= 34^\circ & h &= 0.65 \text{ м} \\ \gamma &= 175 \frac{\text{кН}}{\text{м}^3} & b &= 1.8 \text{ м} \\ d &= 0.6 & & \\ E_c &= 370 \text{ МПа} & & \\ \alpha &= 0.044 & &\end{aligned}$$

Нагрузка по
К-35 Схема 1

Продолжение

ИЗГИБАЮЩИЕ МОМЕНТЫ РЕАКТИВЫ РАСПРЕДЕЛЕНИЕ ПРОГИБЫ

$x/10 \text{ м} / N$

$x/10 \text{ м} / P$

0.06396

-0.03680

ПРОГИБЫ

$\lambda/10 \text{ м} / H$

ИЗГИБАЮЩИЕ СИЛЫ

0.25584

-0.03641

$\text{ЧУД. } m$

-0.00439

-0.00511

$\text{ЧУД. } m$

-0.00511

ИЗГИБАЮЩЕ МОМЕНТЪ РЕАКТИВНОЕ ДАВЛЕНИЕ ПРОГИБЫ $X / 10 \text{ кН м}$	$X / 10 \text{ кПа}$
-0.17865	-0.1740484
-0.172612	-0.1710288
-0.171019	-0.1700273
-1.65364	-1.653619
-1.65362	-1.65360
-1.62643	-1.62366
-1.1013	-1.36230
-1.57617	-1.41818
-1.65364	-1.42306
-2.00901	-1.34991
-1.17715	-1.03585
-0.50036	-1.03593
-0.16815	-1.03573
-3.61706	-1.03560
-8.95686	-1.03542
-1.94166	-1.03533
-9.23632	-1.03521
-7.91166	-2.02297
-3.46826	-1.02297
-3.03181	-1.02297
-15.79406	-1.02297
-19.17247	-1.02297
-13.73308	-1.02297
-31.71080	-1.02297
-4.36725	-1.02297
-8.70847	-1.02297
-23.76124	-1.02297
-32.51196	-1.02297
-31.06487	-1.02297
-10.76171	-1.02297
-3.53326	-1.02297
-9.69453	-1.02297
-7.77351	-1.02297
-4.36224	-1.02297
-6.50918	-1.02297
-1.19322	-1.02297

ИПЕРЕЗЫВАЮЩИЕ СИЛЫ
 $X / 10 \text{ кН}$

ПРОГИБЫ
 $X / 10 \text{ м}$

-0.1858	-0.002861
-0.1858	-0.002861
-0.09953	-0.00295
-0.04682	-0.00316
-0.08793	-0.00337
-0.28975	-0.00355
-0.49854	-0.00376
-0.60764	-0.00382
-0.52021	-0.00391
-0.24664	-0.00388
-0.74687	-0.00378
-3.24895	-0.00360
-4.725078	-0.00442
-5.39875	-0.00655
-0.82934	-0.01063
-14.97110	-0.01536
-37.32034	-0.02072
-16.17456	-0.02573
-0.93299	-0.02876
-18.10825	-0.02988
-39.87764	-0.03034
-16.85257	-0.02169
-1.72072	-0.01705
-6.76104	-0.01322
-9.97641	-0.01067
-10.74864	-0.00963
-22.40593	-0.02614
-9.29567	-0.02492
-1.76573	-0.01327
-7.80423	-0.01377
-1.43419	-0.01322
-10.72618	-0.01638
-1.76573	-0.01296
-2.67767	-0.01623
-1.51432	-0.01026
-4.99722	-0.00638
-3.01516	-0.00426
-1.51432	-0.00318
-0.00203	-0.00203
-0.001156	-0.001156

Исходные данные

$$\varphi = 36^\circ$$

$$\gamma = 17.5 \frac{\text{кн}}{\text{м}^3}$$

$$\phi = 0.8$$

$$E_0 = 305 \text{ МПа}$$

$$\alpha_0 = 0.08$$

$$h = 0.65 \text{ м}$$

$$B = 1.2 \text{ м}$$

Примечание 2

продолжение

Нагрузка по
К-35 Схема f.

140200,140200 140200-140200
0

$$\varphi = 32^\circ$$

$$\gamma = 17,5 \frac{KJ}{m^3}$$

$$x = 0.6$$

$$E_c = 104 \cdot M \pi q$$

$$d = 0.27$$

$$h_5 = 0.65$$

$$b = 1.2m$$

Impressions 2

ПРОДОЛЖЕНИЕ

Нагрузка по

K-35 Cxenia 2

$$Q = 1.5 \text{ } \frac{\text{kg}}{\text{s}}$$

2100 kHz

1200 Kt

0.36511	0.06703	0.97970	1.58044
1.05582	0.00126	-0.07966	3.08196
5.03781	0.00137	-0.00597	4.58369
9.62142	0.00140	-0.00552	6.08528
15.70663	0.00120	-0.00733	7.58671
23.29315	0.00066	-0.00867	9.08750
32.28647	0.01334	-0.01431	10.29154
41.96614	0.28615	-0.01954	11.01087
49.98369	0.25518	-0.02716	12.01987
52.85628	0.55272	-0.03741	13.50131
65.33502	0.1512856	-0.05723	14.22644
20.55394	0.224.0906	-0.06652	14.803493
45.37756	0.258.1416	-0.07521	15.285193
41.04765	0.28.00806	-0.08172	16.62161
64.83587	0.25.22995	-0.09424	17.910245
24.72926	0.21.85289	-0.07646	18.4687898
10.27925	0.17.70105	-0.05035	19.03741
38.59187	0.13.78496	-0.05070	20.13721
51.55202	0.10.76374	-0.05076	21.09576
52.69043	0.06.47987	-0.05128	22.04974
43.09842	0.06.57155	-0.04928	23.35042
23.36871	0.10.66257	-0.04560	24.03350
0.60513	0.02.93676	-0.04502	25.25215
16.22617	0.01.92876	-0.04800	26.1495761
18.06163	0.01.679204	-0.04804	27.09740
7.16201	0.01.47706	-0.05018	28.65689
10.54498	0.01.28339	-0.03952	29.41682
23.42662	0.01.25716	-0.03136	30.88820
26.92656	0.01.26215	-0.02451	31.04638
25.56970	0.01.26371	-0.01921	32.46283
21.46204	0.01.28060	-0.01531	33.21255
16.56993	0.01.26778	-0.01252	34.90489
11.72565	0.01.58624	-0.01071	35.10838
9.65088	0.01.47660	-0.00959	36.08350
6.46345	0.01.49822	-0.00855	37.00288
2.18329	0.01.49650	-0.00785	38.00388
0.77416	0.01.56627	-0.00766	39.00330
0.13151	0.01.75554	-0.00761	40.00246

Прогнозные программы на 1995 г. в Академии наук АН ЧССР. Академия наук ЧССР. Академия наук ЧССР. Академия наук ЧССР.

ИЗГИБАЮЩИЕ МОМЕНТЫ РЕАКТИВНОЕ ДАВЛЕНИЕ ПРОГИБЫ
 $\chi / 10 \text{ кНм}$ $\chi / 10 \text{ кНд}$

0.40698	0.10660	0.07719	-1.55959	-1.53504	-1.22589	-1.88213	-1.00564	-1.63044	-2.75667	-4.54257	-6.11449	-8.00520	-10.00500	-12.00504	-13.00565	-15.00709	-17.00978	-19.01145	-21.01455	-23.02225	-25.03392	-27.05128	-29.06371	-31.07120	-33.08215	-35.09766	-37.09766	-39.06362	-41.05334	-43.04911	-45.04730	-47.05301	-49.04691	-51.04691	-53.03565	-55.0301	-57.02895	-59.02419	-61.02202	-63.02190	-65.02190	-67.02202	-69.02202	-71.02190	-73.02190	-75.02190	-77.02190	-79.02190	-81.02190	-83.02190	-85.02190	-87.02190	-89.02190	-91.02190	-93.02190	-95.02190	-97.02190	-99.02190	-101.02190	-103.02190	-105.02190	-107.02190	-109.02190	-111.02190	-113.02190	-115.02190	-117.02190	-119.02190	-121.02190	-123.02190	-125.02190	-127.02190	-129.02190	-131.02190	-133.02190	-135.02190	-137.02190	-139.02190	-141.02190	-143.02190	-145.02190	-147.02190	-149.02190	-151.02190	-153.02190	-155.02190	-157.02190	-159.02190	-161.02190	-163.02190	-165.02190	-167.02190	-169.02190	-171.02190	-173.02190	-175.02190	-177.02190	-179.02190	-181.02190	-183.02190	-185.02190	-187.02190	-189.02190	-191.02190	-193.02190	-195.02190	-197.02190	-199.02190	-201.02190	-203.02190	-205.02190	-207.02190	-209.02190	-211.02190	-213.02190	-215.02190	-217.02190	-219.02190	-221.02190	-223.02190	-225.02190	-227.02190	-229.02190	-231.02190	-233.02190	-235.02190	-237.02190	-239.02190	-241.02190	-243.02190	-245.02190	-247.02190	-249.02190	-251.02190	-253.02190	-255.02190	-257.02190	-259.02190	-261.02190	-263.02190	-265.02190	-267.02190	-269.02190	-271.02190	-273.02190	-275.02190	-277.02190	-279.02190	-281.02190	-283.02190	-285.02190	-287.02190	-289.02190	-291.02190	-293.02190	-295.02190	-297.02190	-299.02190	-301.02190	-303.02190	-305.02190	-307.02190	-309.02190	-311.02190	-313.02190	-315.02190	-317.02190	-319.02190	-321.02190	-323.02190	-325.02190	-327.02190	-329.02190	-331.02190	-333.02190	-335.02190	-337.02190	-339.02190	-341.02190	-343.02190	-345.02190	-347.02190	-349.02190	-351.02190	-353.02190	-355.02190	-357.02190	-359.02190	-361.02190	-363.02190	-365.02190	-367.02190	-369.02190	-371.02190	-373.02190	-375.02190	-377.02190	-379.02190	-381.02190	-383.02190	-385.02190	-387.02190	-389.02190	-391.02190	-393.02190	-395.02190	-397.02190	-399.02190	-401.02190	-403.02190	-405.02190	-407.02190	-409.02190	-411.02190	-413.02190	-415.02190	-417.02190	-419.02190	-421.02190	-423.02190	-425.02190	-427.02190	-429.02190	-431.02190	-433.02190	-435.02190	-437.02190	-439.02190	-441.02190	-443.02190	-445.02190	-447.02190	-449.02190	-451.02190	-453.02190	-455.02190	-457.02190	-459.02190	-461.02190	-463.02190	-465.02190	-467.02190	-469.02190	-471.02190	-473.02190	-475.02190	-477.02190	-479.02190	-481.02190	-483.02190	-485.02190	-487.02190	-489.02190	-491.02190	-493.02190	-495.02190	-497.02190	-499.02190	-501.02190	-503.02190	-505.02190	-507.02190	-509.02190	-511.02190	-513.02190	-515.02190	-517.02190	-519.02190	-521.02190	-523.02190	-525.02190	-527.02190	-529.02190	-531.02190	-533.02190	-535.02190	-537.02190	-539.02190	-541.02190	-543.02190	-545.02190	-547.02190	-549.02190	-551.02190	-553.02190	-555.02190	-557.02190	-559.02190	-561.02190	-563.02190	-565.02190	-567.02190	-569.02190	-571.02190	-573.02190	-575.02190	-577.02190	-579.02190	-581.02190	-583.02190	-585.02190	-587.02190	-589.02190	-591.02190	-593.02190	-595.02190	-597.02190	-599.02190	-601.02190	-603.02190	-605.02190	-607.02190	-609.02190	-611.02190	-613.02190	-615.02190	-617.02190	-619.02190	-621.02190	-623.02190	-625.02190	-627.02190	-629.02190	-631.02190	-633.02190	-635.02190	-637.02190	-639.02190	-641.02190	-643.02190	-645.02190	-647.02190	-649.02190	-651.02190	-653.02190	-655.02190	-657.02190	-659.02190	-661.02190	-663.02190	-665.02190	-667.02190	-669.02190	-671.02190	-673.02190	-675.02190	-677.02190	-679.02190	-681.02190	-683.02190	-685.02190	-687.02190	-689.02190	-691.02190	-693.02190	-695.02190	-697.02190	-699.02190	-701.02190	-703.02190	-705.02190	-707.02190	-709.02190	-711.02190	-713.02190	-715.02190	-717.02190	-719.02190	-721.02190	-723.02190	-725.02190	-727.02190	-729.02190	-731.02190	-733.02190	-735.02190	-737.02190	-739.02190	-741.02190	-743.02190	-745.02190	-747.02190	-749.02190	-751.02190	-753.02190	-755.02190	-757.02190	-759.02190	-761.02190	-763.02190	-765.02190	-767.02190	-769.02190	-771.02190	-773.02190	-775.02190	-777.02190	-779.02190	-781.02190	-783.02190	-785.02190	-787.02190	-789.02190	-791.02190	-793.02190	-795.02190	-797.02190	-799.02190	-801.02190	-803.02190	-805.02190	-807.02190	-809.02190	-811.02190	-813.02190	-815.02190	-817.02190	-819.02190	-821.02190	-823.02190	-825.02190	-827.02190	-829.02190	-831.02190	-833.02190	-835.02190	-837.02190	-839.02190	-841.02190	-843.02190	-845.02190	-847.02190	-849.02190	-851.02190	-853.02190	-855.02190	-857.02190	-859.02190	-861.02190	-863.02190	-865.02190	-867.02190	-869.02190	-871.02190	-873.02190	-875.02190	-877.02190	-879.02190	-881.02190	-883.02190	-885.02190	-887.02190	-889.02190	-891.02190	-893.02190	-895.02190	-897.02190	-899.02190	-901.02190	-903.02190	-905.02190	-907.02190	-909.02190	-911.02190	-913.02190	-915.02190	-917.02190	-919.02190	-921.02190	-923.02190	-925.02190	-927.02190	-929.02190	-931.02190	-933.02190	-935.02190	-937.02190	-939.02190	-941.02190	-943.02190	-945.02190	-947.02190	-949.02190	-951.02190	-953.02190	-955.02190	-957.02190	-959.02190	-961.02190	-963.02190	-965.02190	-967.02190	-969.02190	-971.02190	-973.02190	-975.02190	-977.02190	-979.02190	-981.02190	-983.02190	-985.02190	-987.02190	-989.02190	-991.02190	-993.02190	-995.02190	-997.02190	-999.02190	-1001.02190	-1003.02190	-1005.02190	-1007.02190	-1009.02190	-1011.02190	-1013.02190	-1015.02190	-1017.02190	-1019.02190	-1021.02190	-1023.02190	-1025.02190	-1027.02190	-1029.02190	-1031.02190	-1033.02190	-1035.02190	-1037.02190	-1039.02190	-1041.02190	-1043.02190	-1045.02190	-1047.02190	-1049.02190	-1051.02190	-1053.02190	-1055.02190	-1057.02190	-1059.02190	-1061.02190	-1063.02190	-1065.02190	-1067.02190	-1069.02190	-1071.02190	-1073.02190	-1075.02190	-1077.02190	-1079.0219

ИЗГИБАЮЩИЕ МОМЕНТЫ. РЕАКТИВНОЕ ДАВЛЕНИЕ ПРОГИБЫ	
$X / 10 \text{ м}^2/\text{м}$	$\Gamma / 10 \text{ кН/м}$
0.40399	0.06441
1.52690	-1.03121
3,13088	-0.24628
5,56726	0.00023
7,28420	0.00059
14,70228	0.00073
21,52135	0.00063
29,69022	-0.33544
38,08592	-2.15882
43,59289	-5.09768
40,74898	-9.54145
21,48193	-15.64663
7,9,54140	-17.79037
-32,24945	-21.12755
-36,35060	-18.60583
-19,68161	-15.50499
10,26198	-11.71842
33,58241	-8.27628
43,04706	-5.85346
42,83418	-4.85547
34,74863	-5.26333
18,17616	-6.81201
-1,94213	-8.99172
-14,13010	-10.91406
-14,51653	-12.95565
-4,27292	-9.55123
11,61605	-8.73112
21,92027	-5.39656
23,54068	-3.10801
20,71934	-1.58953
16,20203	-0.81543
11,58778	-0.32917
7,69845	-0.24691
4,82007	-0.26559
2,91230	-0.34776
1,82949	-0.43843
1,38791	-0.63540
1,30939	-0.81484
сум. M	0.07672

ПЕРЕБЫВАЮЩИЕ СИЛЫ

$X / 10 \text{ кН}$	Чир. M
-1.25976	-0.00537
2.31646	-0.00495
3.81686	-0.00470
5.31795	-0.00469
6.81924	-0.00518
6.83035	-0.00652
8.32002	-0.00892
9.21623	-0.01300
10.84511	-0.01914
11.51971	-0.02044
12.18364	-0.02944
13.21031	-0.02774
14.23590	-0.03859
15.27361	-0.04262
16.30464	-0.04943
17.3590	-0.05716
18.4114	-0.05199
19.46411	-0.064457
20.631	-0.06939
21.77150	-0.07150
22.90185	-0.07415
23.06620	-0.07457
24.15875	-0.07464
25.23590	-0.07744
26.32253	-0.08464
27.41982	-0.09185
28.50443	-0.09202
29.58999	-0.09336
30.63355	-0.09612
31.53218	-0.0976
32.0558	-0.0982
33.06424	-0.09932
34.16424	-0.100982
35.23576	-0.102623
36.32576	-0.10319
37.41312	-0.104765
38.50443	-0.10553
39.64827	-0.10628
40.70200	-0.10771
41.80380	-0.10853
42.86558	-0.10936
43.92576	-0.11023
44.83335	-0.11119
45.92576	-0.11206
46.84827	-0.11312
47.90510	-0.11412
48.96424	-0.11510
49.04624	-0.11610
50.10471	-0.11710
51.16424	-0.11810
52.23576	-0.11910
53.32576	-0.12010
54.41312	-0.12110
55.50443	-0.12210
56.60200	-0.12310
57.70200	-0.12410
58.80380	-0.12510
59.90510	-0.12610
60.00455	-0.12710

$\psi = 88^\circ$

$\gamma = 145 \frac{\text{кн}}{\text{м}^3}$

$\delta = 0,6$

$E_0 = 129 \text{ ГПа}$

$d = 0,034$

$h = 0,65 \text{ м}$ ИЗГОДИКИ

продолжение

Нагрузка по

K-35 Схема 2

ИЗГИБАЮЩИЕ МОМЕНТЫ, РЕАКТИВНОЕ ДАВЛЕНИЕ, ПРОГИБЫ $x/10 \text{ м} / M$	$x/10 \text{ м}$	сум. M
-0.43978	-1.81063	-0.00359
-1.38409	0.00011	-0.00259
-1.71974	-0.17045	-0.00285
-0.81926	-0.24580	-0.00310
1.23560	0.10606	-0.00327
4.58447	0.00014	-0.00343
9.38585	0.00020	-0.00387
15.66907	-0.04080	-0.00460
22.89813	-1.15001	-0.00666
29.07771	-3.32682	-0.00980
29.90926	-7.41823	-0.01500
17.66423	-13.56433	-0.02261
-5.37629	-23.27655	-0.03356
-25.05042	-72.56031	-0.03613
-30.62199	-20.24788	-0.03143
-17.99512	-16.49486	-0.02660
-6.37632	-11.49676	-0.02061
24.36201	-7.20226	-0.01557
30.18135	-4.6832	-0.01234
28.60185	-3.63635	-0.01112
21.23096	-4.46217	-0.01166
6.77122	-6.52572	-0.01353
-10.90624	-8.9277	-0.01591
-15.52913	-10.60663	-0.01760
-2.85696	-9.87146	-0.01774
8.27520	-20.90673	-0.02582
12.95417	-4.80067	-0.01210
12.86744	-3.53058	-0.00902
10.41885	-1.96837	-0.00674
7.40196	-1.02457	-0.00520
4.73729	-0.54827	-0.00425
2.76179	-0.42053	-0.00373
0.74870	-0.39389	-0.00340
0.39722	-0.55877	-0.00328
0.32954	-0.63045	-0.00315
0.61413	-0.65649	-0.00301
0.77271	-0.00291	-0.00290
-0.51097	-0.00281	-0.00279

ПЕРЕЗЫВАЮЩИЕ СИЛЫ
 $X/10 \text{ кН}/F$

Чиср. M	Чиср. F
-0.00355	-1.75914
-0.00259	-0.25894
-0.00285	-0.93443
-0.00309	-1.93198
-0.00326	-3.30108
-0.00343	-4.80133
-0.00360	-6.30170
-0.00387	-7.72825
-0.00400	-7.15824
-0.00414	-7.26735
-0.00425	-9.17925
-0.00428	-9.99281
-0.00425	-6.61577
-0.00428	-10.93805
-0.00431	-35.24731
-0.00435	-16.05315
-0.00438	-4.58908
-0.00441	-1.95389
-0.00447	-16.99932
-0.00451	-13.53123
-0.00454	-23.77751
-0.00457	-8.46449
-0.00461	-3.94717
-0.00464	-17.67856
-0.00467	-11.38443
-0.00470	-4.08123
-0.00473	-20.79000
-0.00476	-2.88707
-0.00479	-1.99135
-0.00482	-2.20614
-0.00485	-1.34131
-0.00488	-0.01835
-0.00491	-0.15167
-0.00494	-0.01172

$$\begin{aligned}\varphi &= 32^\circ & h &= 0.65 \text{ м} \\ \gamma &= 175 \frac{\text{kN}}{\text{м}^3} & b &= 1.8 \text{ м} \\ \alpha &= 0.8 & E_0 &= 217 \text{ ГПа} \\ d &= 0.057\end{aligned}$$

Нагрузка по
K-35 Схема 2

Приложение 6
продолжение

ИЗГИБАЮЩИЕ МОМЕНТЫ РЕАКТИВНОСЕДАВЛЕННИЕ ПРОГИБЫ
Х/10 кН/м Чир. - 14

1. 0.36901	0.68410	0.68248	0.68364	0.68649	0.68674	0.68679	0.68764	0.68765	0.68746
3. 90002	-0.64029	-0.64054	-0.64056	-0.64054	-0.64056	-0.64054	-0.64056	-0.64054	-0.64057
7. 30134	-0.60038	-0.60062	-0.60062	-0.60062	-0.60062	-0.60062	-0.60062	-0.60062	-0.60063
12. 19101	-0.5072	-0.50702	-0.50702	-0.50702	-0.50702	-0.50702	-0.50702	-0.50702	-0.50703
18. 58139	-0.43785	-0.43782	-0.43782	-0.43782	-0.43782	-0.43782	-0.43782	-0.43782	-0.43783
20. 47246	-0.41966	-0.41966	-0.41966	-0.41966	-0.41966	-0.41966	-0.41966	-0.41966	-0.41967
35. 43785	-0.41972	-0.41972	-0.41972	-0.41972	-0.41972	-0.41972	-0.41972	-0.41972	-0.41973
43. 78989	-0.420518	-0.420518	-0.420518	-0.420518	-0.420518	-0.420518	-0.420518	-0.420518	-0.420519
48. 13956	-0.419120	-0.419120	-0.419120	-0.419120	-0.419120	-0.419120	-0.419120	-0.419120	-0.419120
43. 19139	-0.419511	-0.419511	-0.419511	-0.419511	-0.419511	-0.419511	-0.419511	-0.419511	-0.419511
21. 41536	-0.23156	-0.23156	-0.23156	-0.23156	-0.23156	-0.23156	-0.23156	-0.23156	-0.23156
11. 82946	-0.263105	-0.263105	-0.263105	-0.263105	-0.263105	-0.263105	-0.263105	-0.263105	-0.263105
36. 02266	-0.30417	-0.30417	-0.30417	-0.30417	-0.30417	-0.30417	-0.30417	-0.30417	-0.30417
-40. 03964	-0.262666	-0.262666	-0.262666	-0.262666	-0.262666	-0.262666	-0.262666	-0.262666	-0.262666
-21. 81818	-0.2261427	-0.2261427	-0.2261427	-0.2261427	-0.2261427	-0.2261427	-0.2261427	-0.2261427	-0.2261427
10. 43210	-0.1763173	-0.1763173	-0.1763173	-0.1763173	-0.1763173	-0.1763173	-0.1763173	-0.1763173	-0.1763173
36. 02017	-0.1308032	-0.1308032	-0.1308032	-0.1308032	-0.1308032	-0.1308032	-0.1308032	-0.1308032	-0.1308032
47. 05225	-0.0972720	-0.0972720	-0.0972720	-0.0972720	-0.0972720	-0.0972720	-0.0972720	-0.0972720	-0.0972720
47. 32942	-0.071527	-0.071527	-0.071527	-0.071527	-0.071527	-0.071527	-0.071527	-0.071527	-0.071527
38. 61974	-0.059846	-0.059846	-0.059846	-0.059846	-0.059846	-0.059846	-0.059846	-0.059846	-0.059846
20. 58824	-0.0456056	-0.0456056	-0.0456056	-0.0456056	-0.0456056	-0.0456056	-0.0456056	-0.0456056	-0.0456056
-1. 31117	-0.1317311	-0.1317311	-0.1317311	-0.1317311	-0.1317311	-0.1317311	-0.1317311	-0.1317311	-0.1317311
-14. 96544	-0.1561035	-0.1561035	-0.1561035	-0.1561035	-0.1561035	-0.1561035	-0.1561035	-0.1561035	-0.1561035
-15. 91758	-0.1526334	-0.1526334	-0.1526334	-0.1526334	-0.1526334	-0.1526334	-0.1526334	-0.1526334	-0.1526334
-5. 30232	-0.1430658	-0.1430658	-0.1430658	-0.1430658	-0.1430658	-0.1430658	-0.1430658	-0.1430658	-0.1430658
11. 42423	-0.1275256	-0.1275256	-0.1275256	-0.1275256	-0.1275256	-0.1275256	-0.1275256	-0.1275256	-0.1275256
22. 74759	-0.0819855	-0.0819855	-0.0819855	-0.0819855	-0.0819855	-0.0819855	-0.0819855	-0.0819855	-0.0819855
25. 32495	-0.050441	-0.050441	-0.050441	-0.050441	-0.050441	-0.050441	-0.050441	-0.050441	-0.050441
23. 10677	-0.0277704	-0.0277704	-0.0277704	-0.0277704	-0.0277704	-0.0277704	-0.0277704	-0.0277704	-0.0277704
22. 78438	-0.01119	-0.01119	-0.01119	-0.01119	-0.01119	-0.01119	-0.01119	-0.01119	-0.01119
14. 03815	-0.00915	-0.00915	-0.00915	-0.00915	-0.00915	-0.00915	-0.00915	-0.00915	-0.00915
9. 76582	-0.00802	-0.00802	-0.00802	-0.00802	-0.00802	-0.00802	-0.00802	-0.00802	-0.00802
6. 33424	-0.00725	-0.00725	-0.00725	-0.00725	-0.00725	-0.00725	-0.00725	-0.00725	-0.00725
3. 83372	-0.00677	-0.00677	-0.00677	-0.00677	-0.00677	-0.00677	-0.00677	-0.00677	-0.00677
2. 23316	-0.00642	-0.00642	-0.00642	-0.00642	-0.00642	-0.00642	-0.00642	-0.00642	-0.00642
1. 61094	-0.00622	-0.00622	-0.00622	-0.00622	-0.00622	-0.00622	-0.00622	-0.00622	-0.00622
1. 17261	-0.00603	-0.00603	-0.00603	-0.00603	-0.00603	-0.00603	-0.00603	-0.00603	-0.00603

ПРИЧИНА СОСТОЯНИЯ

ИЗГИБАЮЩИЕ МОМЕНТЫ РЕАКТИВНОЕ ДАВЛЕНИЕ ПРОГИБЫ	$X/10, \text{мм}$	$\chi/10, \text{кН/м}$	СУМ. М
-1. 67877	-6. 96589	-0. 00737	-0. 00705
-6. 31115	0. 09536	0. 05213	0. 00705
-11. 41638	0. 07703	0. 04112	0. 00705
-14. 02863	0. 05947	0. 03074	0. 00705
-16. 86903	0. 04354	0. 02120	0. 00705
-17. 25667	0. 02928	0. 01259	0. 00705
-16. 19884	0. 01624	0. 00494	0. 00705
-10. 78467	0. 085933	0. 00193	0. 00705
-1. 1043	-0. 83174	0. 00796	0. 00705
14. 59951	-6. 88257	-0. 01471	0. 00705
21. 20030	-13. 36415	-0. 02303	0. 00705
13. 32745	-19. 63452	-0. 03352	0. 00705
-8. 55906	-42. 82912	-0. 06425	0. 00705
-29. 01628	-29. 19292	-0. 04877	0. 00705
-36. 04761	-28. 03195	-0. 04537	0. 00705
-20. 89795	-23. 80652	-0. 03858	0. 00705
-7. 04503	-17. 96065	-0. 03043	0. 00705
27. 93160	-12. 37695	-0. 02350	0. 00705
35. 04538	-8. 52800	-0. 01897	0. 00705
32. 69057	-6. 96238	-0. 01693	0. 00705
22. 78954	-7. 70142	-0. 01712	0. 00705
4. 73372	-9. 81781	-0. 01879	0. 00705
-16. 19775	-12. 24845	-0. 02096	0. 00705
-27. 28394	-12. 86691	-0. 02183	0. 00705
-20. 64331	-7. 26195	-0. 02008	0. 00705
-3. 84349	-45. 07341	-0. 05703	0. 00705
-6. 85176	-2. 26160	-0. 04450	0. 00705
10. 33173	-4. 45175	-0. 01169	0. 00705
11. 07157	-2. 96865	-0. 00922	0. 00705
9. 666327	-1. 77016	-0. 00738	0. 00705
7. 48715	-1. 05005	-0. 00615	0. 00705
5. 36548	-0. 94619	-0. 00546	0. 00705
3. 63861	-0. 74103	-0. 00492	0. 00705
2. 40216	-0. 93624	-0. 00468	0. 00705
1. 57112	-1. 03671	-0. 00469	0. 00705
0. 93703	-1. 32290	-0. 00437	0. 00705
0. 40936	-0. 94048	-0. 00394	0. 00705
0. 11240	-1. 02126	-0. 00362	0. 00705

ПРЕДЕЗЫВАЮЩИЕ СИЛЫ

$X/10, \text{мм}$	$\chi/10, \text{кН}$
-6. 71506	-6. 71506
-5. 09943	-5. 09943
-3. 50699	-3. 50699
-1. 93563	-1. 93563
-0. 38338	-0. 38338
1. 15175	1. 15175
2. 67124	2. 67124
1. 80243	1. 80243
1. 99171	1. 99171
1. 30434	1. 30434
1. 854526	1. 854526
-5. 99171	-5. 99171
-2. 05313	-2. 05313
-25. 44807	-25. 44807
-6. 47958	-6. 47958
13. 88206	13. 88206
39. 31424	39. 31424
19. 26146	19. 26146
-9. 67934	-9. 67934
5. 90912	5. 90912
-2. 82448	-2. 82448
-17. 42104	-17. 42104
-27. 70241	-27. 70241
-10. 90054	-10. 90054
5. 15916	5. 15916
27. 94482	27. 94482
5. 35072	5. 35072
4. 13680	4. 13680
0. 29471	0. 29471
-1. 76768	-1. 76768
-2. 39187	-2. 39187
-2. 15300	-2. 15300
-1. 72843	-1. 72843
-1. 17766	-1. 17766
-0. 80115	-0. 80115
-0. 54521	-0. 54521
-0. 64468	-0. 64468
-0. 27325	-0. 27325
-0. 0123	-0. 0123

Изгибающие моменты

$$\begin{aligned} \varphi &= 34^\circ \\ \gamma &= 1.75 \frac{\text{kN}}{\text{м}^3} \\ \delta &= 0.8 \\ E_0 &= 230 \text{ МПа} \\ \alpha &= 0.06 \end{aligned}$$

$$h = 0.65 \text{ м}$$

$$B = 1.2 \text{ м}$$

Нагрузка по
к-35 Схема 2

Приложение 2 33.

продолжение

ИЗГИБАЮЩИЕ МОМЕНТЫ · РЕАКТИВНОЕ ДАВЛЕНИЕ ПРОГИБЫ	$\chi / 10 \text{ кНм}$	$\chi / 10 \text{ кН}$	СУММ.
-0.62156	-2.21458	-0.00491	-0.00486
-2.11078	0.00101	-0.00241	-0.98442
-2.87740	0.48501	-0.00303	-1.38860
-1.68369	0.95193	-0.00359	-2.98207
1.23978	0.03283	-0.00400	-4.54116
5.81621	0.00099	-0.00444	-6.04133
11.85750	0.00003	-0.00521	-7.54137
26.98199	1.60851	-0.00912	-8.30698
32.83183	3.96807	-0.01323	-9.91166
32.37375	4.0729	-0.00661	-1.26914
18.54851	4.5752	-0.00524	-11.28221
-6.92407	3.43942	-0.01299	-11.0572
-28.09187	2.137523	-0.01299	-12.01869
-33.68698	19.42647	-0.01938	-13.02629
-19.98256	15.99507	-0.02798	-14.02969
6.46920	1.53347	-0.02798	-15.56918
26.52034	7.66212	-0.03379	-16.36029
33.66338	5.16005	-0.02969	-17.30894
32.79497	4.26548	-0.03379	-18.01714
-24.07776	4.86229	-0.02019	-19.77096
8.10064	6.58637	-0.01650	-20.01611
-10.89965	8.68260	-0.01650	-21.94881
-21.17792	9.99395	-0.01650	-22.55730
-16.96680	9.12054	-0.01650	-23.02026
-3.52039	2.23759	-0.01650	-24.01497
8.52026	4.86052	-0.01650	-25.01463
13.07339	3.68136	-0.01650	-26.01463
14.64397	2.18187	-0.01650	-27.00875
12.21808	1.28045	-0.01650	-28.00690
9.06977	0.64094	-0.00559	-29.00557
6.05737	0.44667	-0.00482	-30.00481
2.68230	0.21410	-0.00437	-31.00436
2.02327	0.47115	-0.00411	-32.00440
0.04428	0.56327	-0.00395	-33.00394
0.45638	0.54469	-0.00382	-34.00381
0.27537	0.62750	-0.00367	-35.00366
0.29713	0.82636	-0.00354	-36.00354

ПЕРЕРЕЗЫВАЮЩИЕ СИЛЫ

ЧИР. М	$x / 10 \text{ кН}$
-0.00491	-2.48624
-0.00241	-0.98442
-0.00303	-1.38860
-0.00359	-2.98207
-0.00400	-4.54116
-0.00444	-6.04133
-0.00521	-7.54137
-0.00660	-8.30698
-0.00905	-9.91166
-0.01299	-1.26914
-0.01869	-11.28221
-0.02626	-11.0572
-0.03616	-12.01869
-0.03587	-13.02969
-0.03379	-14.02435
-0.01949	-15.56918
-0.02019	-16.36029
-0.01650	-17.30894
-0.01650	-18.01714
-0.01650	-19.77096
-0.01650	-20.01611
-0.01650	-21.94881
-0.01650	-22.55730
-0.01650	-23.02026
-0.01650	-24.01497
-0.01650	-25.01463
-0.01650	-26.01463
-0.01650	-27.00875
-0.01650	-28.00690
-0.01650	-29.00557
-0.01650	-30.00481
-0.01650	-31.00436
-0.01650	-32.00440
-0.01650	-33.00394
-0.01650	-34.00381
-0.01650	-35.00366
-0.01650	-36.00354

Исходные данные

$$\varphi = 34^\circ$$

$$\gamma = 175 \text{ кН/м}^3$$

$$\rho = 0.6$$

$$E_c = 170 \text{ ГПа}$$

$$d = 0.044$$

$$h = 0.65 \text{ м}$$

$$B = 1.8 \text{ м}$$

Приложение 2⁵⁴
продолжение

Нагрузка по
к-35 Схема 2

ИЗГИБАЮЩИЕ МОМЕНТЫ РЕАКТИВНОЕ ПАВЛЕННИЕ ПРОГИБЫ $X / 10^3 \text{ кН} \cdot \text{м}$	$y / 10^3 \text{ кН}$	СУММЫ, М
-0.31258	-1.52295	-0.00259
-0.96998	-0.00216	-0.00251
-1.26011	-0.00238	-0.00216
-0.76871	-0.00248	-0.00238
0.48451	-0.00255	-0.00255
2.87318	-0.00265	-0.00265
6.71122	-0.00286	-0.00286
12.07310	-0.00343	-0.00343
18.69836	-0.00460	-0.00460
25.10504	-0.00596	-0.00596
27.19553	-0.01083	-0.01083
17.21815	-0.01674	-0.01674
-3.90969	-0.02434	-0.02434
-21.78198	-0.02574	-0.02574
-26.98954	-0.02384	-0.02384
-15.72837	-0.02007	-0.02007
6.30109	-0.01527	-0.01527
22.00714	-0.01123	-0.01123
26.43526	-0.00874	-0.00874
24.67613	-0.00787	-0.00787
18.26511	-0.00841	-0.00841
5.52096	-0.01009	-0.00976
-10.09294	-0.01219	-0.01160
-18.18970	-0.01359	-0.01280
-13.88527	-0.01364	-0.01291
-2.00206	-0.01885	-0.01682
8.15043	-0.00903	-0.00881
12.08288	-0.00662	-0.00651
1.63501	-0.00491	-0.00486
9.27146	-0.00383	-0.00381
6.54775	-0.00257	-0.00256
4.07998	-0.00288	-0.00288
2.14582	-0.00257	-0.00256
0.85770	-0.00249	-0.00248
0.14694	-0.00229	-0.00229
0.03557	-0.00217	-0.00217
0.36564	-0.00229	-0.00229
0.76136	-0.00221	-0.00220
-1.03268	-0.00221	-0.00220

ПРЕДЕЗЫВАЮЩИЕ СИЛЫ

$F_{10} / \text{кН}$

-1.25031
-0.12902
-0.00216
-0.00238
-0.00238
-0.00248
-0.00248
-0.00255
-0.00265
-0.00286
-0.00343
-0.00460
-0.00596
-0.01083
-0.01674
-0.02434
-0.02574
-0.02384
-0.02007
-0.01527
-0.01123
-0.00874
-0.00787
-0.00841
-0.01009
-0.01219
-0.01359
-0.01364
-0.01885
-0.00903
-0.00662
-0.00491
-0.00383
-0.00257
-0.00288
-0.00257
-0.00249
-0.00229
-0.00217
-0.00229
-0.00221
-0.00220

ПРОГИБЫ

УЧР. М.

-0.00257
-0.00216
-0.00238
-0.00238
-0.00248
-0.00248
-0.00255
-0.00265
-0.00286
-0.00343
-0.00460
-0.00596
-0.01083
-0.01674
-0.02434
-0.02574
-0.02384
-0.02007
-0.01527
-0.01123
-0.00874
-0.00787
-0.00841
-0.01009
-0.01219
-0.01359
-0.01364
-0.01885
-0.00903
-0.00662
-0.00491
-0.00383
-0.00257
-0.00288
-0.00257
-0.00249
-0.00229
-0.00217
-0.00229
-0.00221
-0.00220

$$\begin{aligned}
 & \text{Приемы изгиба} \\
 & \varphi = 34^\circ \\
 & \gamma = 1.75 \frac{\text{kH}}{\text{м}^3} \\
 & \delta = 0.8 \\
 & E_0 = 287 \text{ МПа} \\
 & \alpha = 0.075
 \end{aligned}$$

$$\begin{aligned}
 & h = 0.65 \text{ м} \\
 & \beta = 1.8 \text{ м}
 \end{aligned}$$

Приложение 2

36

продолжение

Нагрузка по
K-35 Схема 2

ИЗГИБАЮЩИЕ МОМЕНТЫ РЕАКТИВНОСТИ		ПРОГИБЫ	
Х/10 КН/М	Х/10 КН/М	УЧР. М	УЧР. М
0.40845	0.11017	-0.07797	0.07793
1.49004	-1.72388	-0.00570	1.06355
2.95264	-0.19368	-0.00530	2.09113
5.16194	0.10030	-0.00513	3.0529
8.75361	0.00030	-0.00518	5.0529
13.84619	0.00109	-0.00513	3.59148
20.43685	0.00070	-0.00518	5.09250
28.43169	-0.4199	-0.00570	6.59381
36.80354	-0.6998	-0.00570	8.09465
42.50717	-0.745219	-0.00700	9.18426
40.08129	-1.44390	-0.00736	1.02753
21.31616	-2.237426	-0.01791	1.02753
29.27167	-2.2656667	-0.02337	1.02753
31.70938	-3.222523	-0.01348	1.02753
35.89714	-2.2814980	-0.04238	1.02753
19.65685	-2.2332468	-0.04238	1.02753
9.71698	-1.7155879	-0.05703	1.02753
32.50392	-1.2120730	-0.05703	1.02753
41.65137	-1.849469	-0.02363	1.02753
41.42746	-1.704711	-0.02363	1.02753
33.60181	-2.7175326	-0.02363	1.02753
17.45341	-1.04885	-0.02363	1.02753
2.18675	-1.1350768	-0.02363	1.02753
13.97922	-1.16663782	-0.02363	1.02753
14.29304	-1.19695370	-0.02363	1.02753
4.28090	-1.14633520	-0.02363	1.02753
11.32751	-1.1322187	-0.02363	1.02753
21.33957	-1.21597346	-0.02363	1.02753
22.71371	-1.452745	-0.02363	1.02753
19.78372	-1.022187	-0.02363	1.02753
10.77110	-1.140421	-0.02363	1.02753
7.03597	-1.1356	-0.02363	1.02753
4.22652	-1.020303	-0.02363	1.02753
2.47048	-1.020303	-0.02363	1.02753
1.42772	-0.9483	-0.02363	1.02753
0.98995	-0.77165	-0.02363	1.02753
0.51571	-0.10169	-0.02363	1.02753

ПРЕДЕЛЫ ИЗГИБАЮЩИЕ СИЛЫ
Х/10 КН/М

УЧР. М	Х/10 КН/М
1.06355	1.63220
2.09113	0.05565
3.0529	0.05529
4.05250	0.05529
5.09250	0.05529
6.59381	0.05529
8.09465	0.05529
9.18426	0.05529
10.22429	0.05529
11.41834	0.05529
12.074013	0.05529
13.41042	0.05529
14.286012	0.05529
15.89101	0.05529
16.41642	0.05529
17.80983	0.05529
18.75204	0.05529
19.18149	0.05529
20.83273	0.05529
21.65730	0.05529
22.61363	0.05529
23.641774	0.05529
24.64435	0.05529
25.85356	0.05529
26.641774	0.05529
27.8105	0.05529
28.89436	0.05529
29.23660	0.05529
30.3397	0.05529
31.2901	0.05529
32.100	0.05529
33.2302	0.05529
34.100	0.05529
35.0200	0.05529
36.0100	0.05529
37.0100	0.05529
38.0100	0.05529
39.0100	0.05529
40.0100	0.05529
41.0100	0.05529
42.0100	0.05529
43.0100	0.05529
44.0100	0.05529
45.0100	0.05529
46.0100	0.05529
47.0100	0.05529
48.0100	0.05529
49.0100	0.05529
50.0100	0.05529
51.0100	0.05529
52.0100	0.05529
53.0100	0.05529
54.0100	0.05529
55.0100	0.05529
56.0100	0.05529
57.0100	0.05529
58.0100	0.05529
59.0100	0.05529
60.0100	0.05529
61.0100	0.05529
62.0100	0.05529
63.0100	0.05529
64.0100	0.05529
65.0100	0.05529
66.0100	0.05529
67.0100	0.05529
68.0100	0.05529
69.0100	0.05529
70.0100	0.05529
71.0100	0.05529
72.0100	0.05529
73.0100	0.05529
74.0100	0.05529
75.0100	0.05529
76.0100	0.05529
77.0100	0.05529
78.0100	0.05529
79.0100	0.05529
80.0100	0.05529
81.0100	0.05529
82.0100	0.05529
83.0100	0.05529
84.0100	0.05529
85.0100	0.05529
86.0100	0.05529
87.0100	0.05529
88.0100	0.05529
89.0100	0.05529
90.0100	0.05529
91.0100	0.05529
92.0100	0.05529
93.0100	0.05529
94.0100	0.05529
95.0100	0.05529
96.0100	0.05529
97.0100	0.05529
98.0100	0.05529
99.0100	0.05529
100.0100	0.05529

Исходные данные

$$\varphi = 36^\circ \quad \gamma = 1.75 \frac{\text{кН}}{\text{м}^3}$$

$$D = 0.6$$

$$E_0 = 180 \text{ ГПа}$$

$$\alpha = 0.047$$

$$h_8 = 0.65 \text{ м}$$

$$B = 1.2 \text{ м}$$

Приложение 2

36

продолжение

Нагрузка по

K-35 Схема 2.

ИЗГИБАЮЩИЕ МОМЕНТЫ РЕАКТИВНОЕ АДДЕГЕНЕ ПРОГИБЫ $x/10 \text{ кНм}$	
уич. №	сум. №
-10.35295	-72.42349
-1.04673	-6.64513
-1.17721	-6.60562
-0.32595	-6.47146
-1.46510	-6.21643
4.54319	-6.00015
9.02562	-5.0027
14.99923	-4.83195
22.00192	-4.78262
28.14075	-4.7612
29.19337	-4.72128
17.68423	-3.96221
-5.12392	-3.467584
-24.33922	-3.42128
-29.83066	-3.03151
-17.60213	-2.9893
6.18303	-1.721
23.68471	-1.652156
29.26672	-1.655488
27.70526	-1.518639
20.64044	-1.519990
6.66793	-1.579958
-10.34227	-1.52676
-19.38446	-1.54596
-15.26969	-1.76485
-12.85125	-1.48714
8.17910	-1.6153624
12.96044	-1.546952
13.02845	-1.2158246
10.63705	-1.0558
-7.50408	-1.00453
4.58057	-0.85239
2.75820	-0.85121
-1.00744	-0.85035
0.33910	-0.85035
0.05373	-1.02235
0.08447	-0.92046
0.27082	-1.55207

ПРОГИБЫ
 $x/10 \text{ кН}$

уич. №	сум. №
-0.00346	-1.40319
-0.00296	-0.03766
-0.00292	-0.81092
-0.00318	-1.74553
-0.00335	-2.98222
-0.00352	-4.48240
-0.00372	-5.98273
-0.00417	-7.44643
-0.00682	-7.13544
-0.00683	-2.33806
-0.00972	-8.60109
-0.01423	-31.67244
-0.02046	-19.28345
-0.02342	-16.58899
-0.02683	-10.46036
-0.02739	-36.58165
-0.02850	-15.51700
-0.02959	-4.39113
-0.03242	-1.97113
-0.03417	-6.69479
-0.03417	-1.1301868
-0.03417	-23.427817
-0.03417	-8.425027
-0.03417	-3.63457
-0.01488	-17.44075
-0.01218	-11.15617
-0.01150	-4.33268
-0.01150	-2.55874
-0.01150	-2.74369
-0.01150	-1.42008
-0.01150	-1.18899
-0.01150	-2.37547
-0.01150	-0.65044
-0.01150	-0.21836
-0.01150	-0.01767
-0.01150	-0.37778
-0.00294	-0.00809
-0.00294	-0.00296

Исходные данные

$$\varphi = 36^\circ$$

$$x = 175 \frac{\text{кн}}{\text{м}^3}$$

$$D = 0.8$$

$$E_0 = 305 \text{ МПа}$$

$$d = 0.08$$

$$h_5 = 0.65 \text{ м}$$

$$b = 1.2 \text{ м}$$

Приложение 2

продолжение

Нагрузка по

K-35

Схема 2

Приложение 3
/справочное/

Пример расчета.

Определение усилий в балках и деформации.

Необходимо на причальном сооружении из заанкерованного шпунта заменить шпально-балочное основание рельсового пути, воспринимавшего крановую нагрузку К-25, на основание из сборных железобетонных балок под нагрузку К-35.

Из архивных данных установлено, что засыпка пазухи и территории образована из среднезернистого песка со средним углом внутреннего трения $\Phi = 32^{\circ}35'$, сцеплением $C=1$ кПа и $\gamma=19 \text{ кН/m}^3$.

Относительная плотность сложения песчаного грунта находилась в пределах от 0,6 до 0,85.

Уровень воды находится на 3,15 м ниже отметки территории.

Причал эксплуатируется 23 года..

Принимаем размеры балки: длина 12,5 м, ширина $b=1,2$ м и высота $h=0,65$ м.

Нагрузка на грунтовое основание на уровне подошвы балки от веса грунта и железобетонного покрытия территории составляет $q=15 \frac{\text{kN}}{\text{m}}$

Приложение З
продолжение

Определяем характеристики грунтового основания после 23 лет эксплуатации причала.

Согласно п. 1.2. определяем

$$\varphi_t = 32^\circ 35' + 0,06 \cdot 23 = 34^\circ 13'$$

$$C_t = I + 0,04 \cdot 23 = I,9 \frac{\text{кН}}{\text{м}^2}$$

Определяем средневзвешенное значение γ_{B3B} .

$$\gamma_{B3B} = \frac{\gamma_1 \cdot h_1 + \gamma_2 \cdot h_2}{26} = \frac{19 \cdot 2,0 + 10 \cdot 0,4}{2 \cdot 1,2} = 17,5 \frac{\text{кН}}{\text{м}^3}$$

Принимаем для расчета следующие значения характеристик основания грунта.

$$\varphi = 34^\circ; C = 2 \frac{\text{кН}}{\text{м}^2}; \gamma = 17,5 \frac{\text{кН}}{\text{м}^3}$$

$$D = 0,6 \text{ и } q = 15 \frac{\text{кН}}{\text{м}}$$

Статический расчет балок на грунтовом основании проводим по программе (см. приложение I) на принятие характеристики основания и размеры балки. Некоторые результаты расчетов приведены в табл. приложения.

В соответствии РД 31.31.37-78 принимает нагрузку на рельсовый путь по схеме К-35. Собственный погонный вес конструкции составляет $15 \frac{\text{кН}}{\text{м}}$

В соответствии с п. 3.7 наибольшие нормативные изгибающие моменты в балках находятся при расположении наибольшей нагрузки от ноги крана посередине длины балки и при расположении нагрузки по концам балки.

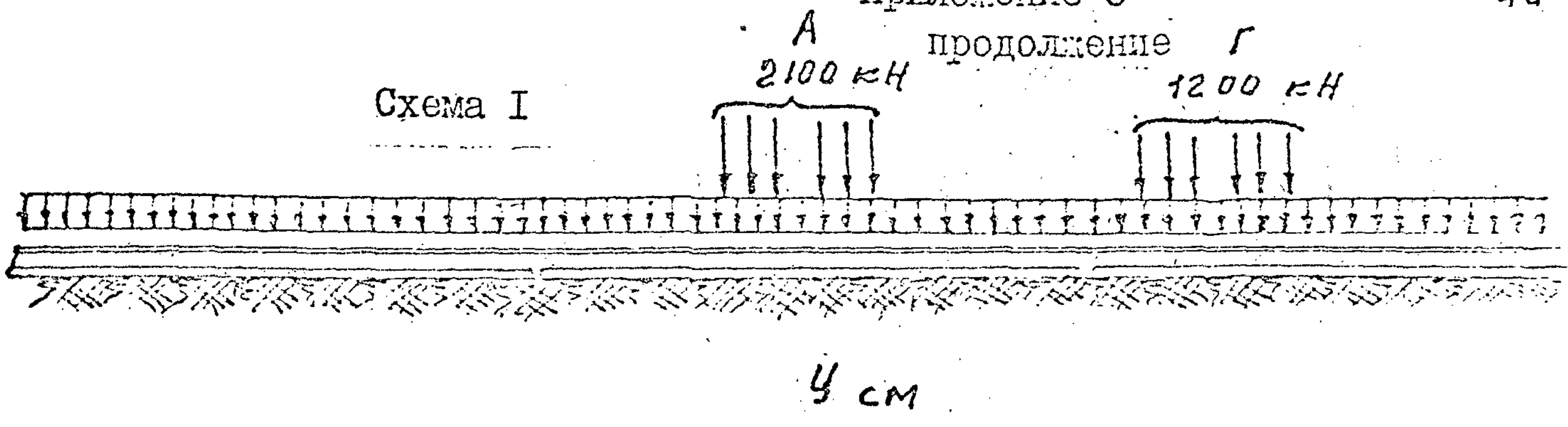
Наибольшие значения усилий, перерезывающих сил, давлений и деформаций выбираем из таблицы (приложение 2), в которых приведены результаты расчетов. Эпюры изгибающих моментов и деформаций приведены на рис. 6.

$$M_{max} = -783,5 \text{ кНм}, \quad M_{max} = +481,4 \text{ кНм},$$

$$R_{max} = 300 \text{ кН}, \quad Q_{max} = 454,5 \text{ кН}.$$

продолжение

Схема I

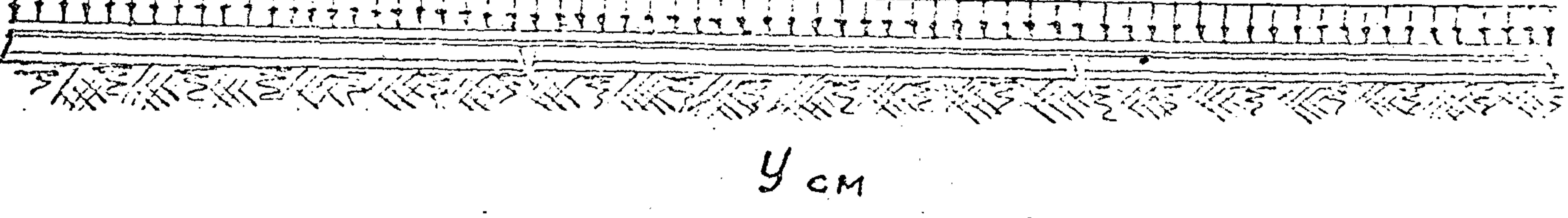
 $y \text{ см}$

$$y_{\max} = \frac{5.9}{6.9} \text{ см}$$

$$M_{\max} = 783.6$$

 $M \text{ кНм}$

Схема 2

A
 2100 кН G
 1200 кН  $y \text{ см}$

$$y_{\max} = \frac{6.9}{7.6} \text{ см}$$

 $M \text{ кНм}$

$$M_{\max} = 481.4$$

Рис.6

Приложение 3
продолжение

$$y_{max}^{obz} = 0,076 \text{ м}, y_{max}^{upr} = 0,063 \text{ м}$$

Расчетное значение изгибающих моментов в балке определяется в соответствии с указанием п. 2.8.

Изгибающий момент растягивающий нижнюю грань балки

$$M_{расч} = -m \cdot M_{max} = -1.25 \cdot 783.6 = -979.5 \text{ кНм}$$

Изгибающий момент растягивающий верхнюю грань балки.

$$M_{расч} = +m \cdot M_{max} = 1.0 \cdot 481.4 = +481.4 \text{ кНм}$$

Определяем наибольший уклон рельсового пути.

$$i = \frac{y_{max}^{upr} - y^{upr}}{\Delta} < [i]$$

где y_{max}^{upr} наибольшая упругая осадка пути, м.

y^{upr} – упругая осадка на расстоянии Δ от наибольшей осадки, м.

Δ – расстояние между осями ног крана вдоль пути, м.

$$i = \frac{0,063 \text{ м} - 0,037 \text{ м}}{10,5 \text{ м}} = 0,0025 < 0,005$$

Уклон меньше нормативного значения. Высоту балки можно уменьшить.

Определяем усилия, действующие в поперечном направлении балки в соответствии с п. 2.II.

Берем сечение балки, в котором действует наибольшее реактивное давление R_{max} , полученное при расчете балки вдоль ее длины.

Принимаем равномерное распределение реакции грунта в поперечном сечении балки с ординатой R_{max} к Па.

От этой эпюры определяем изгибающий момент и перерезывающую силу для сечения, в котором полка балки примыкает к ребру.

$$M''_{max} = -300 \cdot 1 \cdot 0,45 \cdot 0,5 \cdot 0,45 = 30,4 \text{ кНм на } 1 \text{ м длины}$$

$$Q_{max} = 300 \cdot 1 \cdot 0,45 = 135 \text{ кН.}$$

Приложение 3
продолжение

Расчетный изгибающий момент M^P в соответствии с п.2.13 определены по формуле:

$$M'^{max} = m \cdot M''^{max}, \text{ кН}\cdot\text{м},$$

где $m = 1,25 - 0,35 \bar{R}$

В соответствии с п. I.3 определяем $\bar{R} = \frac{R}{[R]}$,

$$[R] = A \cdot B \cdot \gamma + B \cdot Q + D \cdot C = 890,4 \frac{\text{кН}}{\text{м}^2},$$

$$\bar{R} = \frac{300}{890,4} = 0,34$$

$$m = 1,25 - 0,35 \cdot 0,34 = 1,13$$

$$M'^{max} = (-1,13) \cdot 30,4 \text{ кН}\cdot\text{м} = -34,4 \text{ кН}\cdot\text{м}.$$

Определение наибольших остаточных деформаций.

Перед сдачей путей в эксплуатацию проводят обкатку их кранами. Для этого случая остаточные деформации определяют от веса крана при отсутствии пригрузки основания около балок.

Расчетами определены остаточные деформации от первого загружения $Y_{необр} = 0,8 \text{ см.}$

После 30 проходов крана остаточные осадки составят

$$Y_{необр}^{n=30} = n \cdot Y_{необр}^{n=1} = 1,5 \cdot 0,8 \text{ см} = 1,2 \text{ см}$$

В процессе эксплуатации под нагрузкой К-35 остаточные деформации должны составить:

$$Y_{необр}^{n=30} = 1,5 (Y_{общ} - Y_{упр}) = 1,5 (7,6 - 6,3) = 1,95 \text{ см.}$$

но из этого значения $Y_{необр}$ необходимо вычесть осадки, проявившиеся при обкатке рельсовых путей.

Тогда при эксплуатации следует ожидать необратимые осадки равные. $Y_{необр} = 1,95 \text{ см} - 1,2 \text{ см} = 0,75 \text{ см.}$

Содержание

	стр
1. Характеристики грунтового основания	2
2. Расчёт конструкций	5
3. Конструирование и подготовка основания	10

ПРИЛОЖЕНИЕ 1 / обязательное /

Нормативные характеристики грунтового основания, образованного при строительстве	15
--	----

ПРИЛОЖЕНИЕ 2 / рекомендуемое /

Пример расчёта сборных конструкций балок, выполненных по комбинированной модели основания	16
---	----

ПРИЛОЖЕНИЕ 3 / справочное /

Пример расчёта . Определение усилий в балках и деформации	38
---	----